

第6回超新星ニュートリノ研究会



KamLANDにおける 地球ニュートリノ観測の最新結果

渡辺 寛子

東北大RCNS

for the KamLAND Collaboration

Contents

1. Introduction
2. Latest Results
3. Summary

Contents

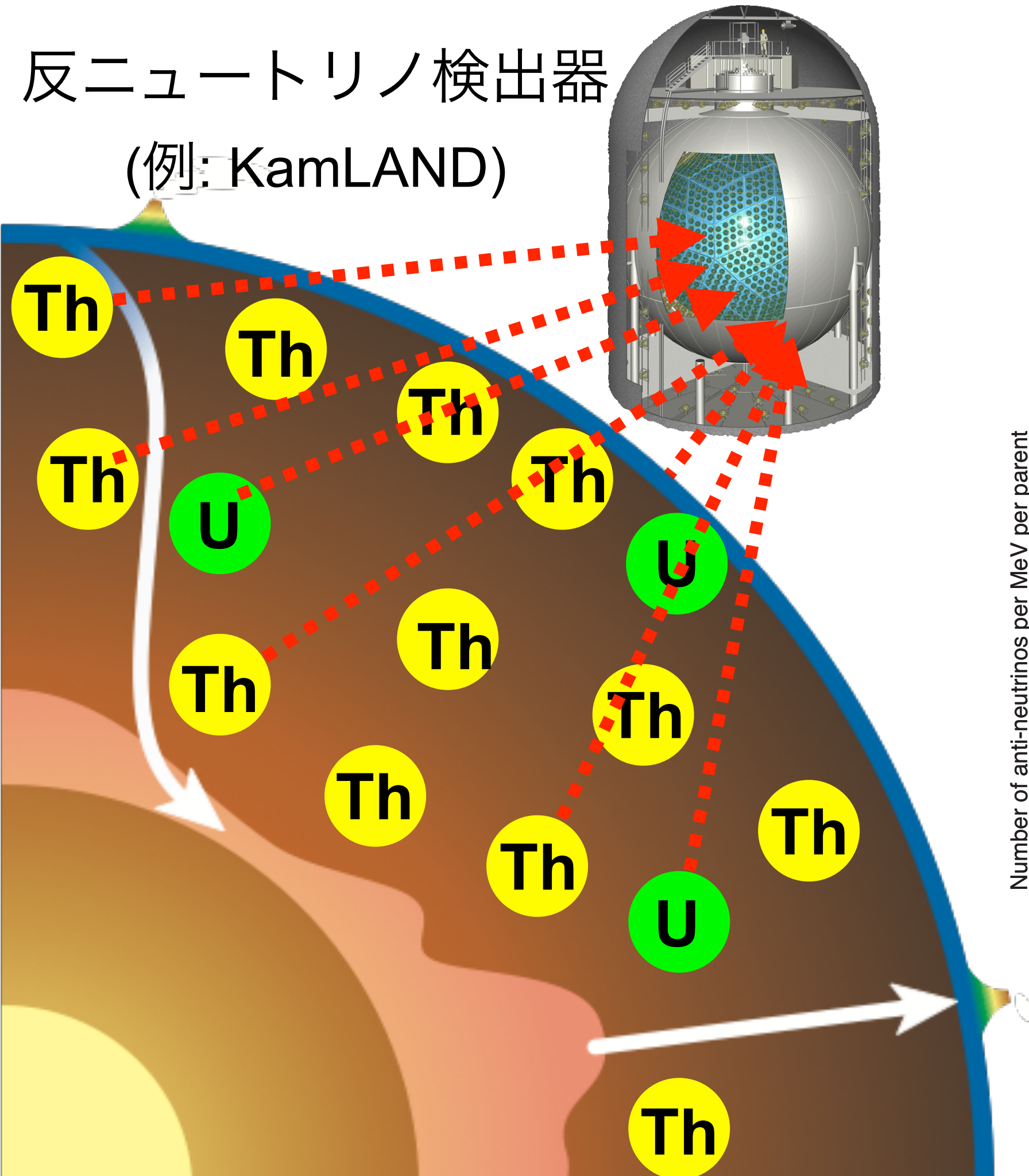
1. Introduction
2. Latest Results
3. Summary

▶ 地球ニュートリノとは

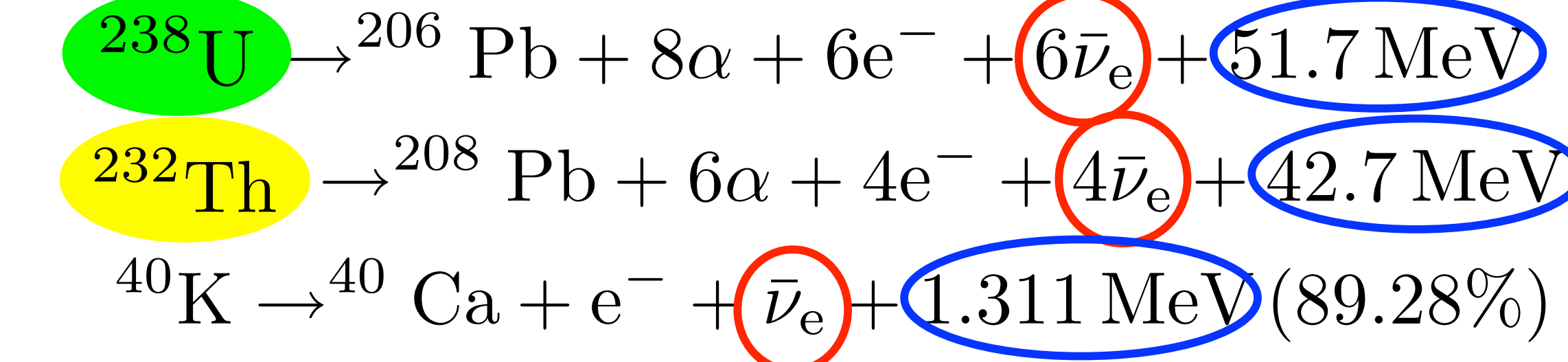
地球内放射性物質の崩壊によって放出される反ニュートリノ

$$\bar{\nu}_e \ 4.1 \times 10^6 / \text{cm}^2 / \text{sec}$$

反ニュートリノ検出器
(例: KamLAND)

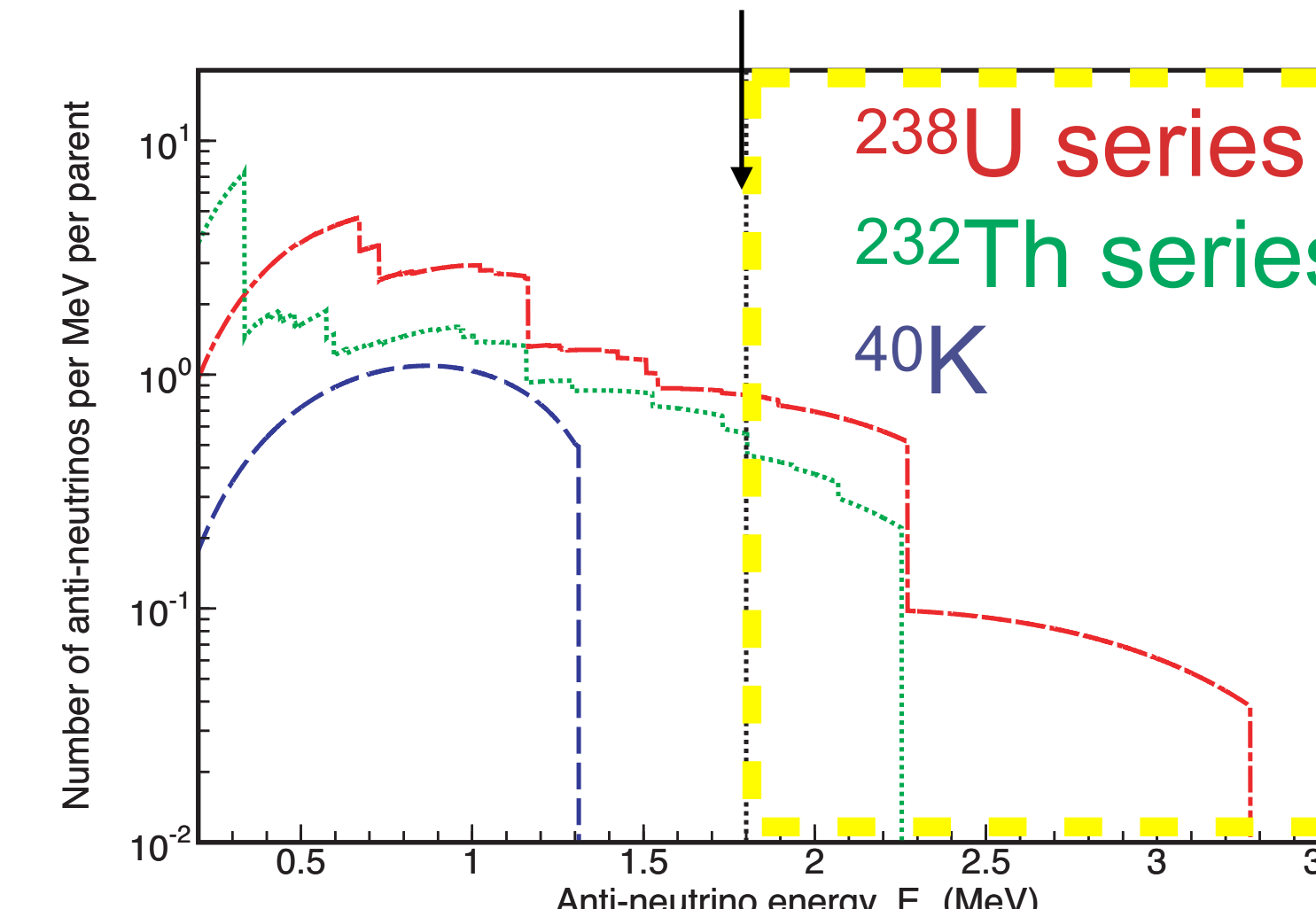


β 崩壊

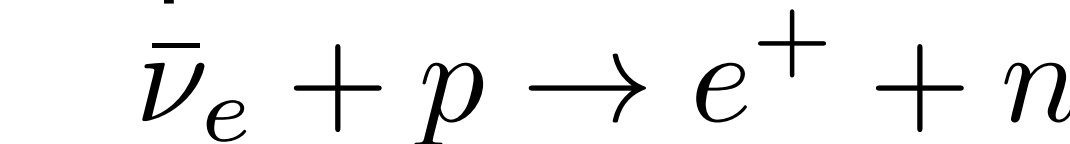


地球ニュートリノ

エネルギー閾値 1.8 MeV

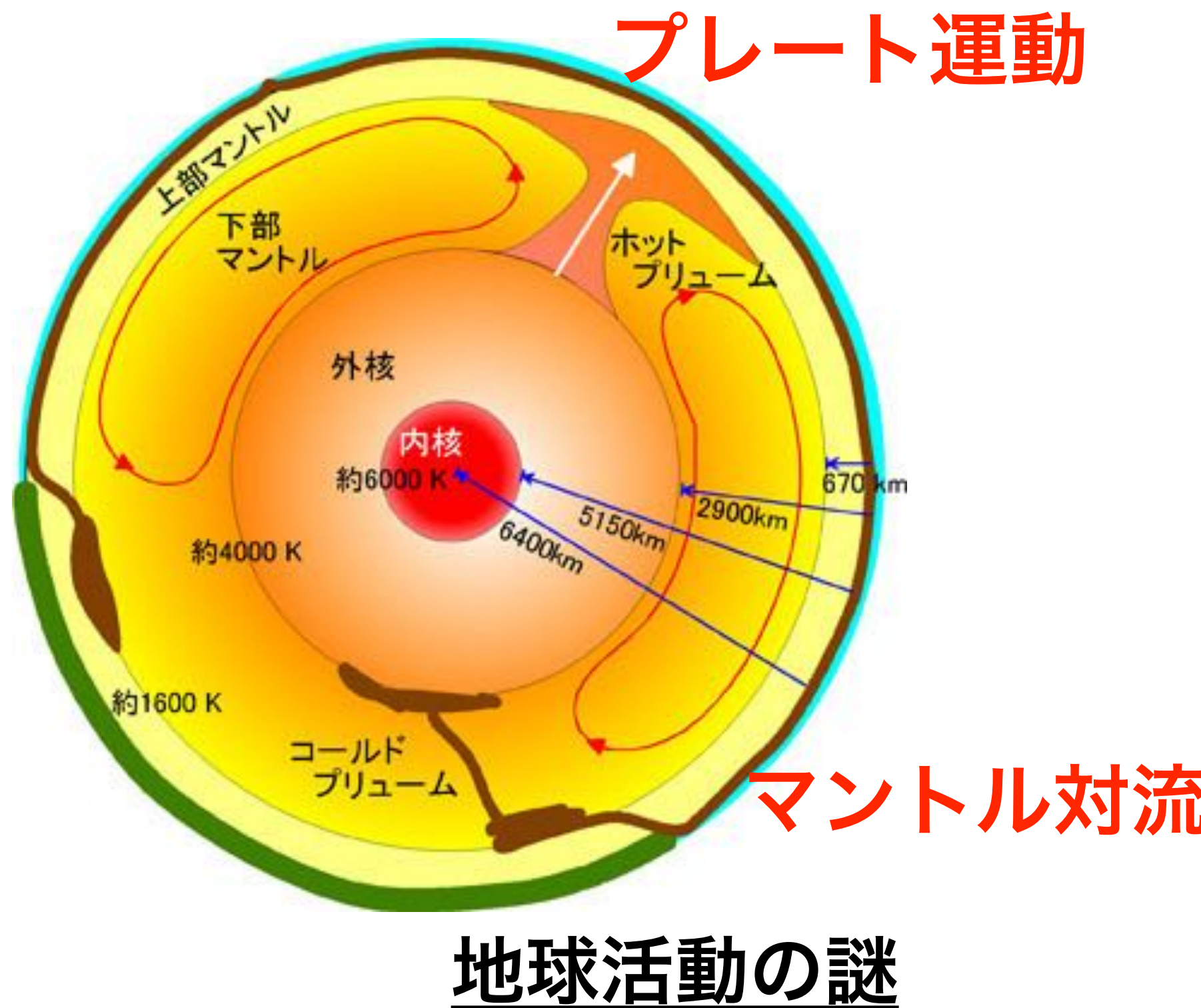


逆 β 崩壊



- * 現在 U と Th 起源の地球ニュートリノのみ観測可能
- * ^{40}K 地球ニュートリノの観測には新技術が必要

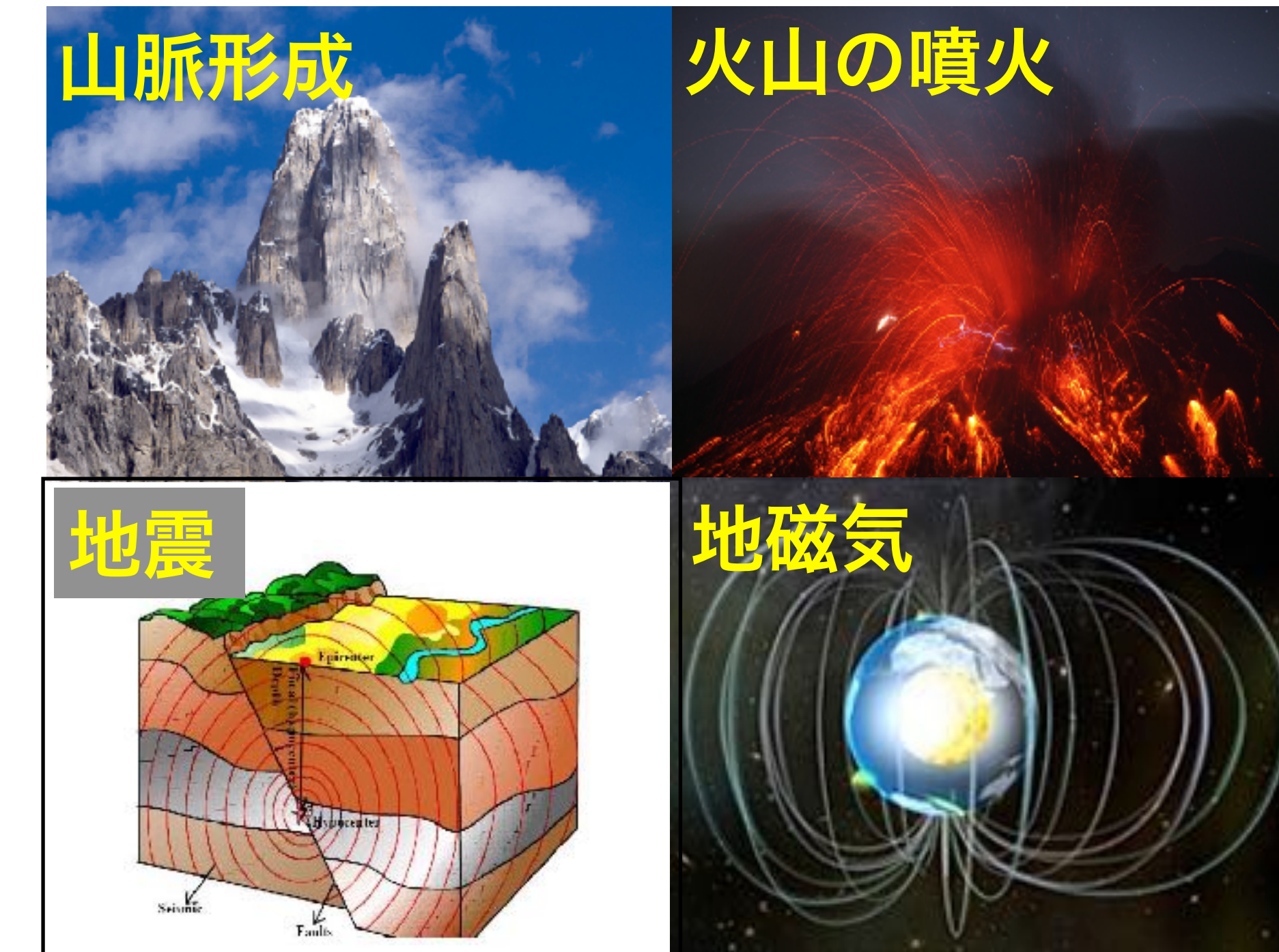
地球ニュートリノ数 \propto U Th 量, 放射化熱量



地球活動の謎

- * 地球活動のエネルギー源、エネルギー量は？
- * マントルはどのように対流しているのか？一層 or 複数対流？
- * 地球磁場の生成・維持の起源は？

→ 地熱の理解は重要な課題



►KamLAND Collaboration

3/19

* Institutions :
5 from Japan
8 from US
1 from Europe
* ~50 collaborators

August 2019 @Kyoto

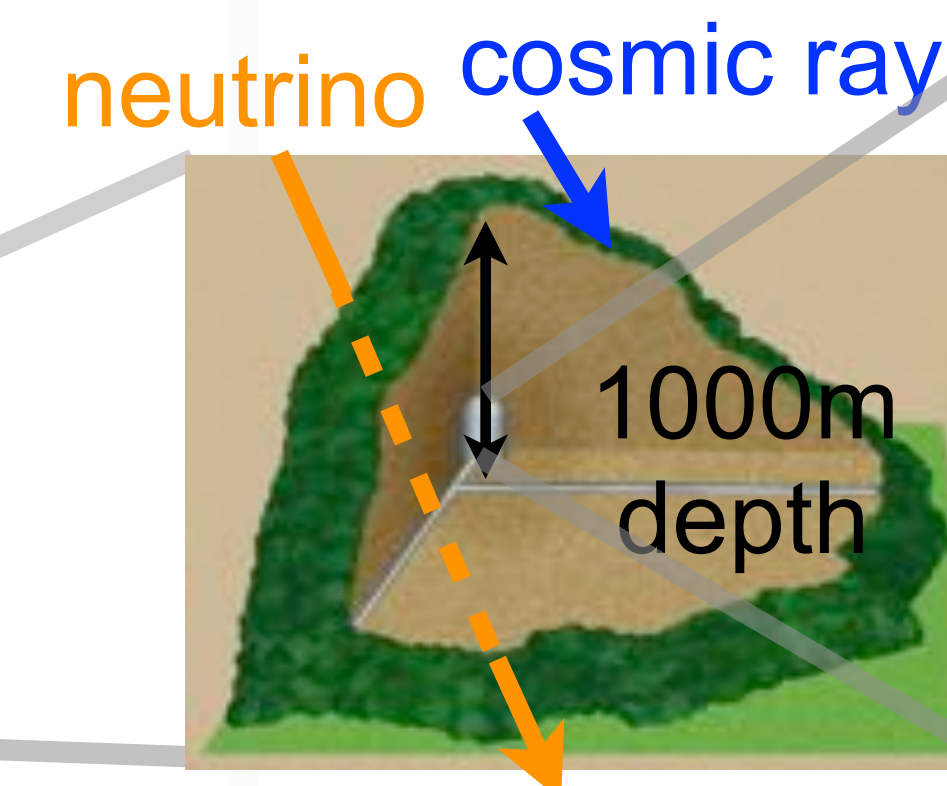
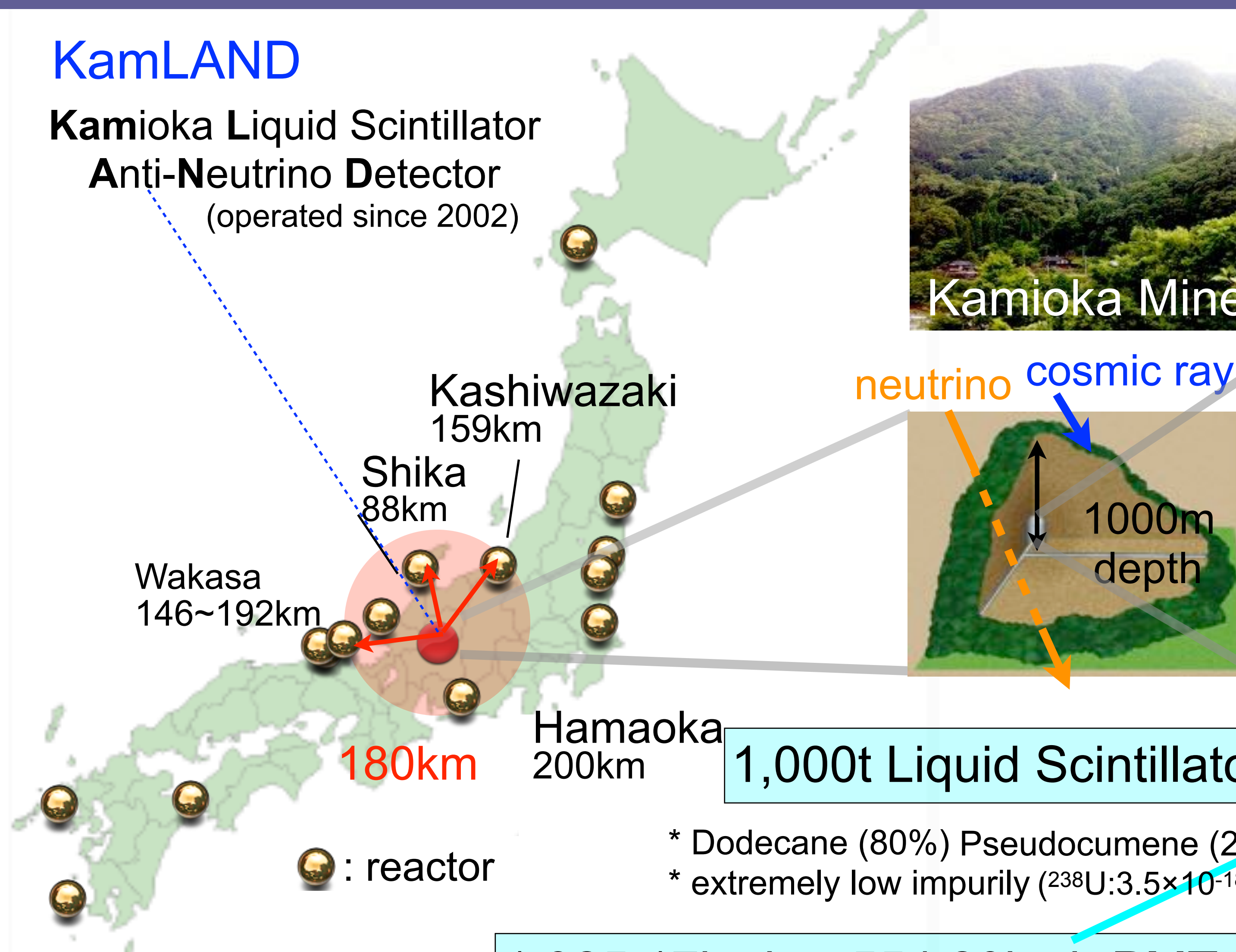


► Site & Detector

4/19

KamLAND

Kamioka Liquid Scintillator
Anti-Neutrino Detector
(operated since 2002)



1,000t Liquid Scintillator

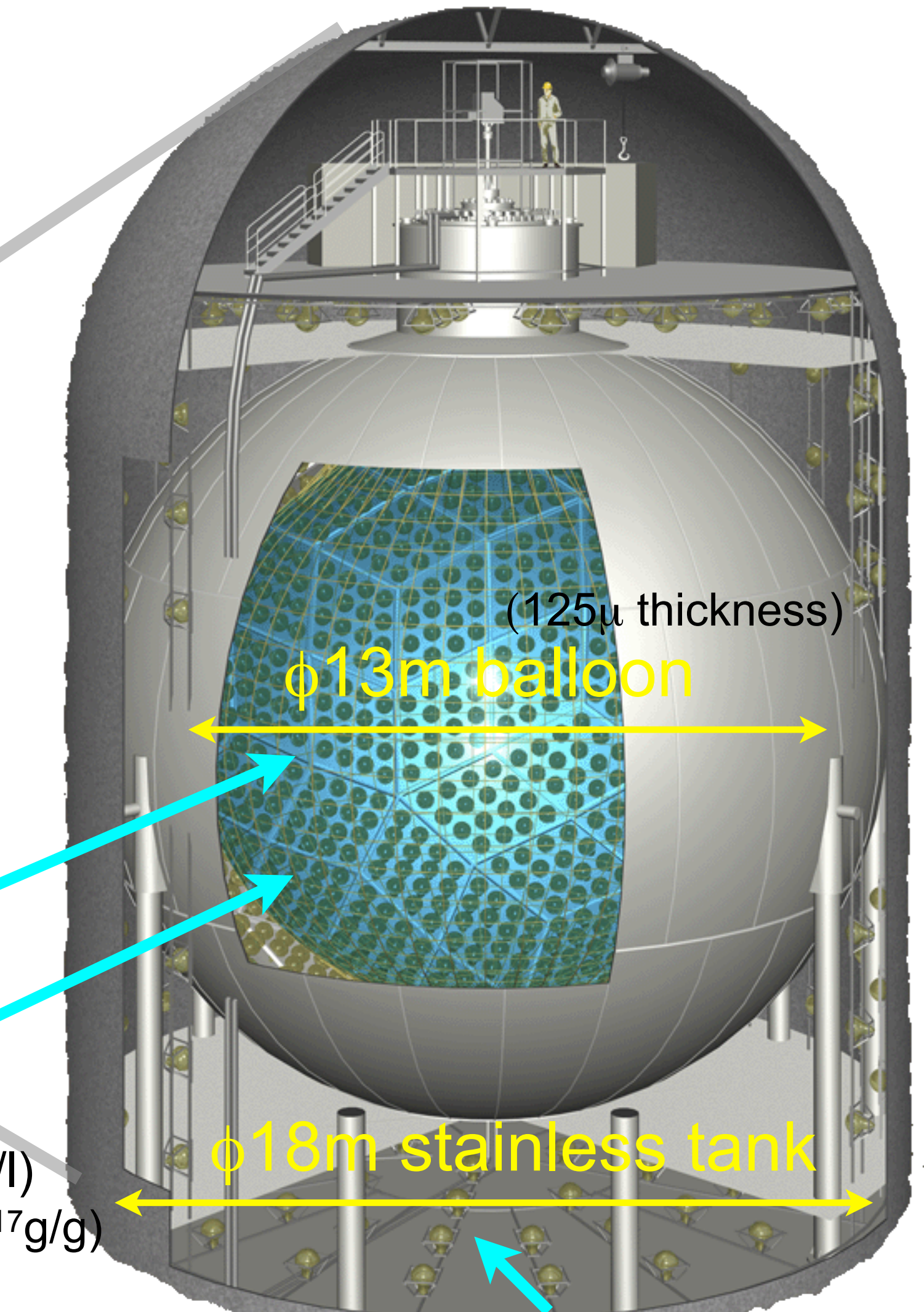
* Dodecane (80%) Pseudocumene (20%) PPO (1.36 g/l)
* extremely low impurity ($^{238}\text{U}:3.5 \times 10^{-18}\text{g/g}$, $^{232}\text{Th}:5.2 \times 10^{-17}\text{g/g}$)

1,325 17inch + 554 20inch PMTs

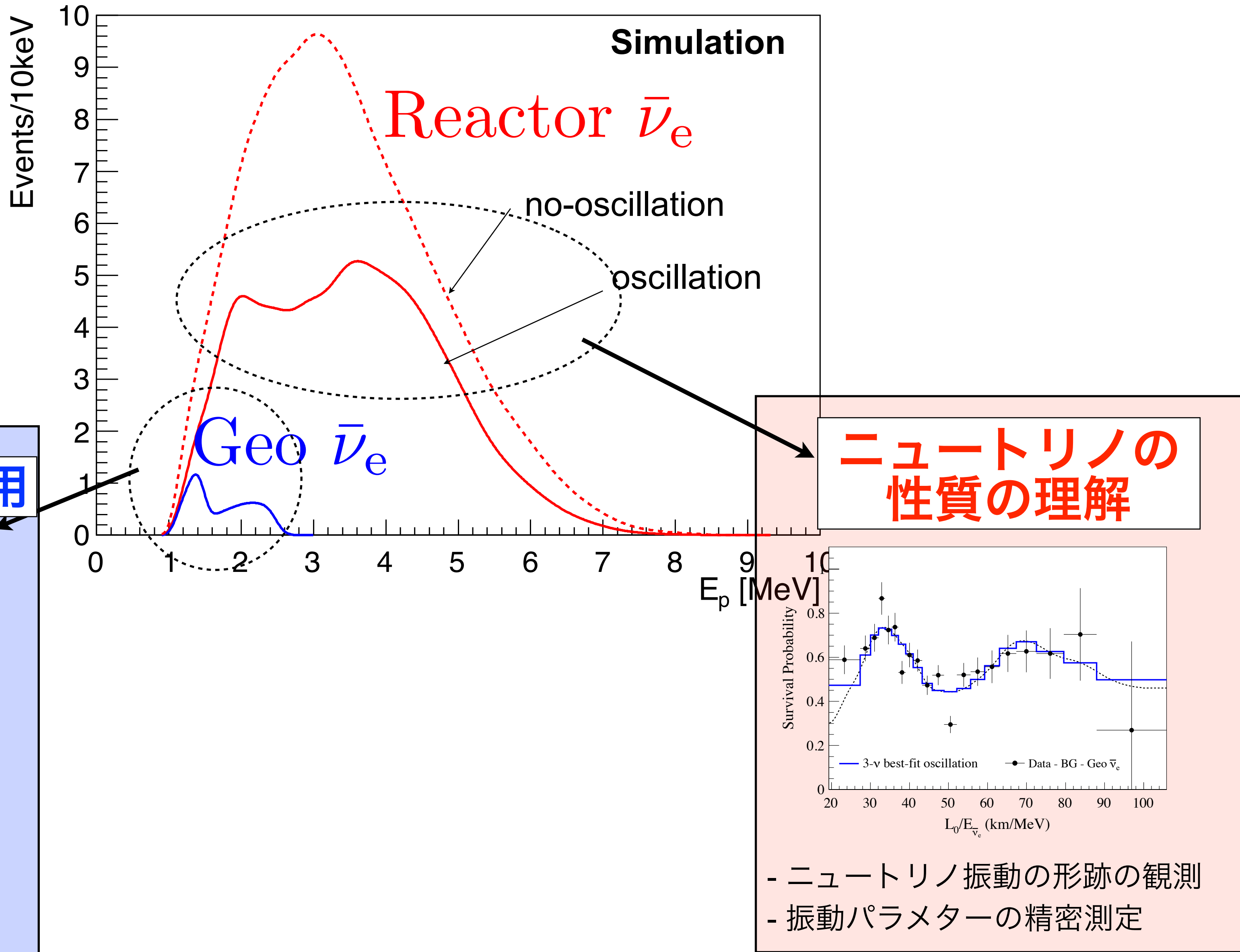
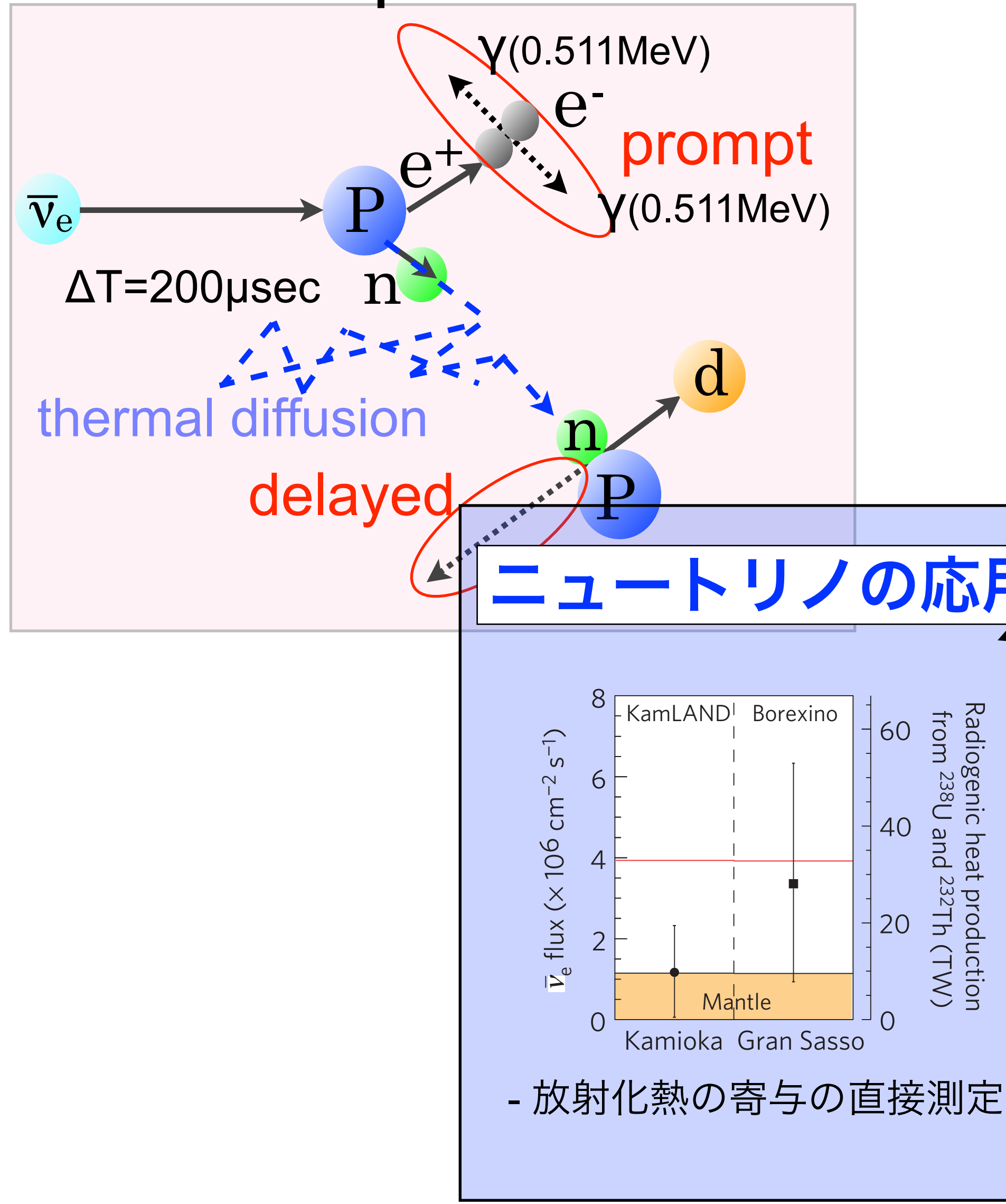
* Photo coverage 34%

Water Cherenkov Outer Detector

* Muon veto

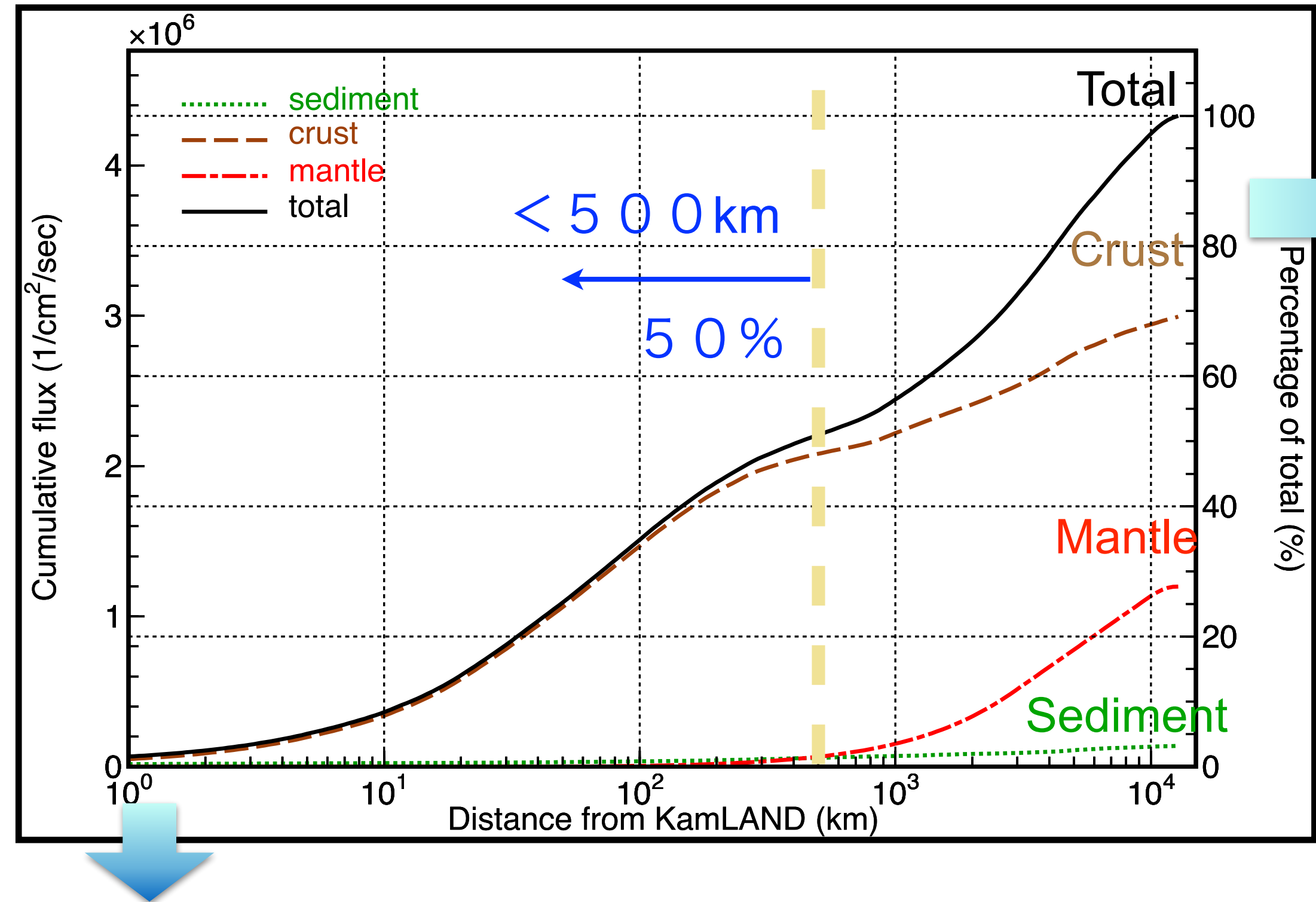


逆β崩壊

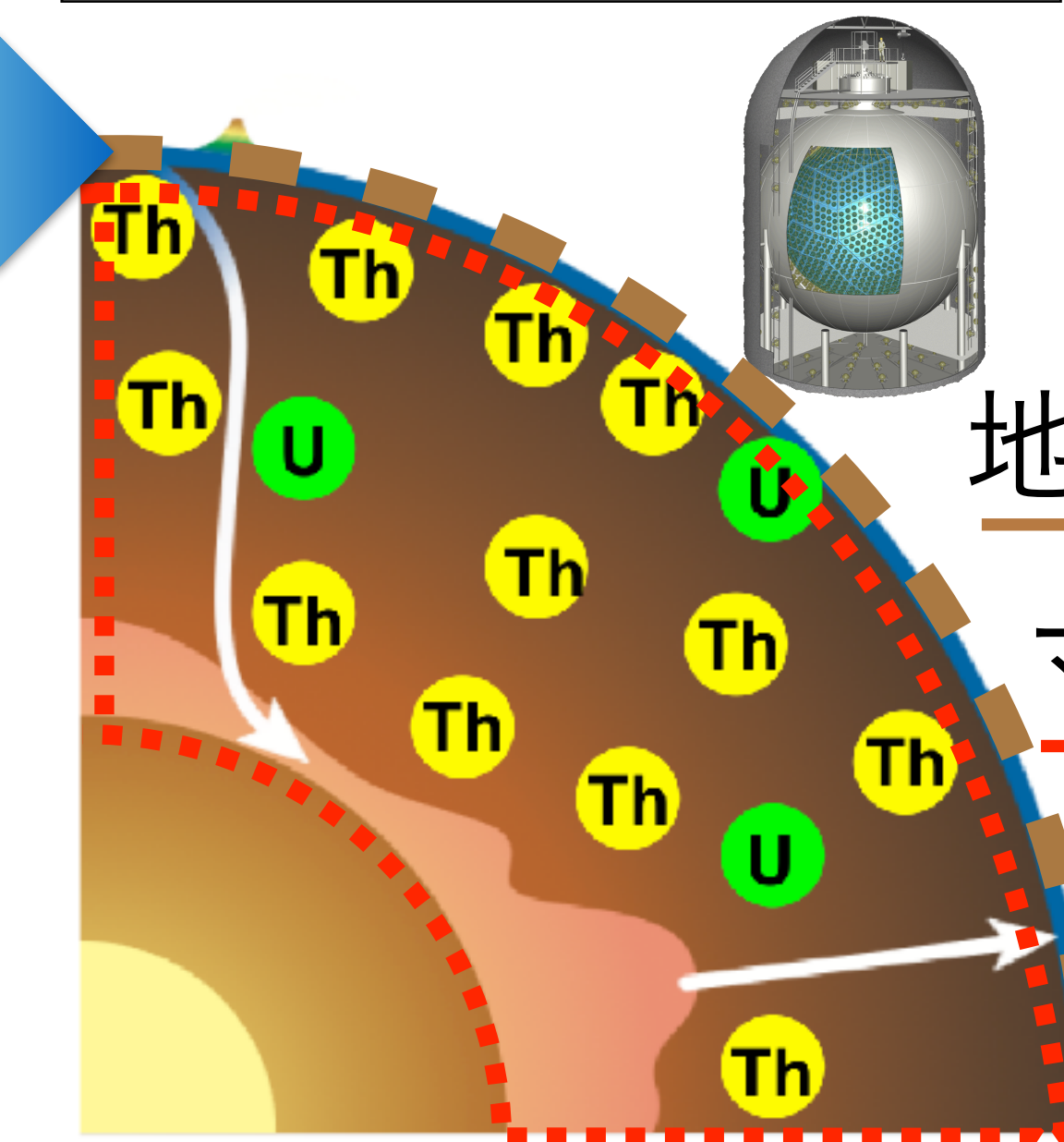


▶神岡における地球ニュートリノフラックス

6/19



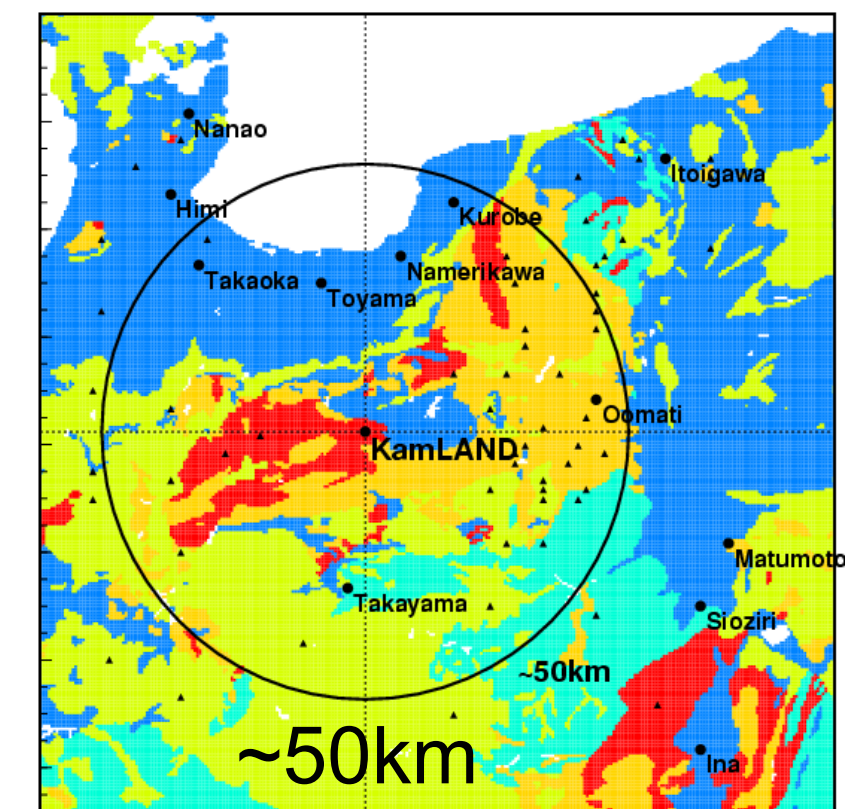
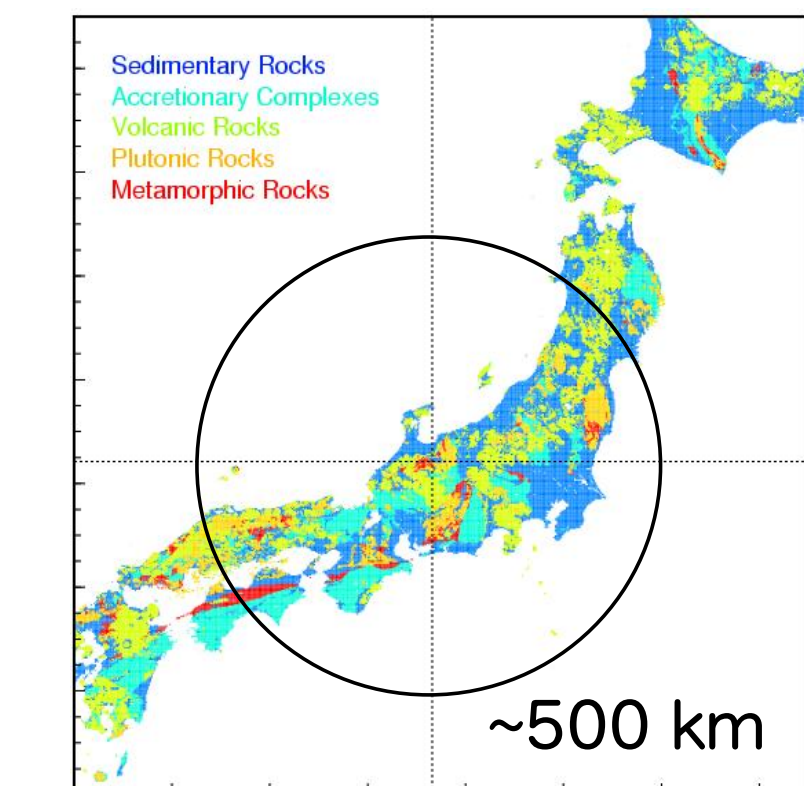
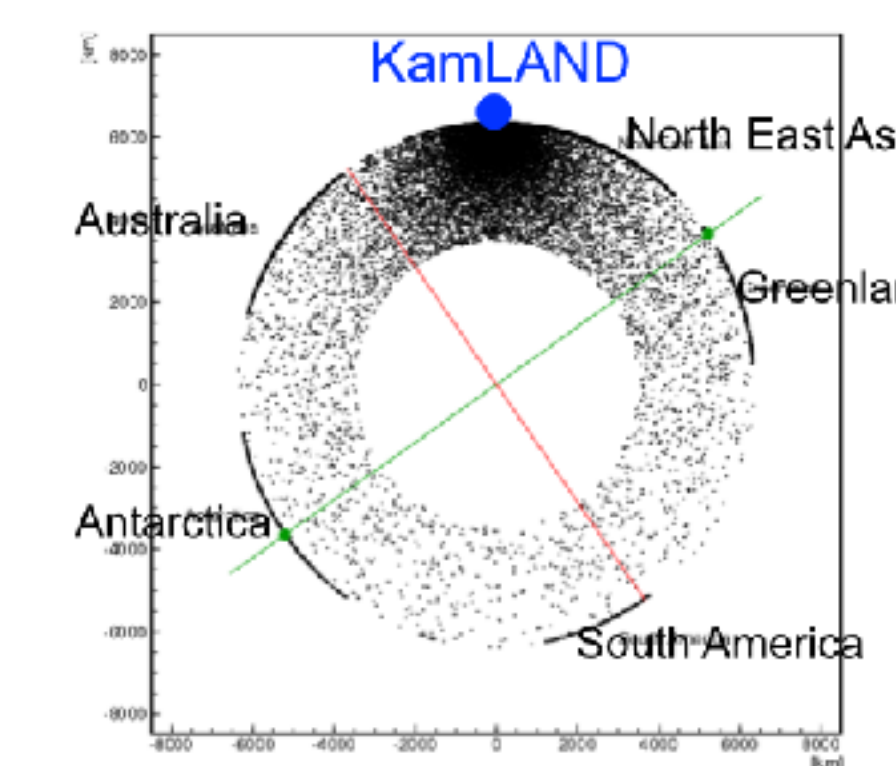
各パートからの寄与



各領域からの寄与

- 50%: < 500km
- 25%: < 50km
- 1~2%: 神岡

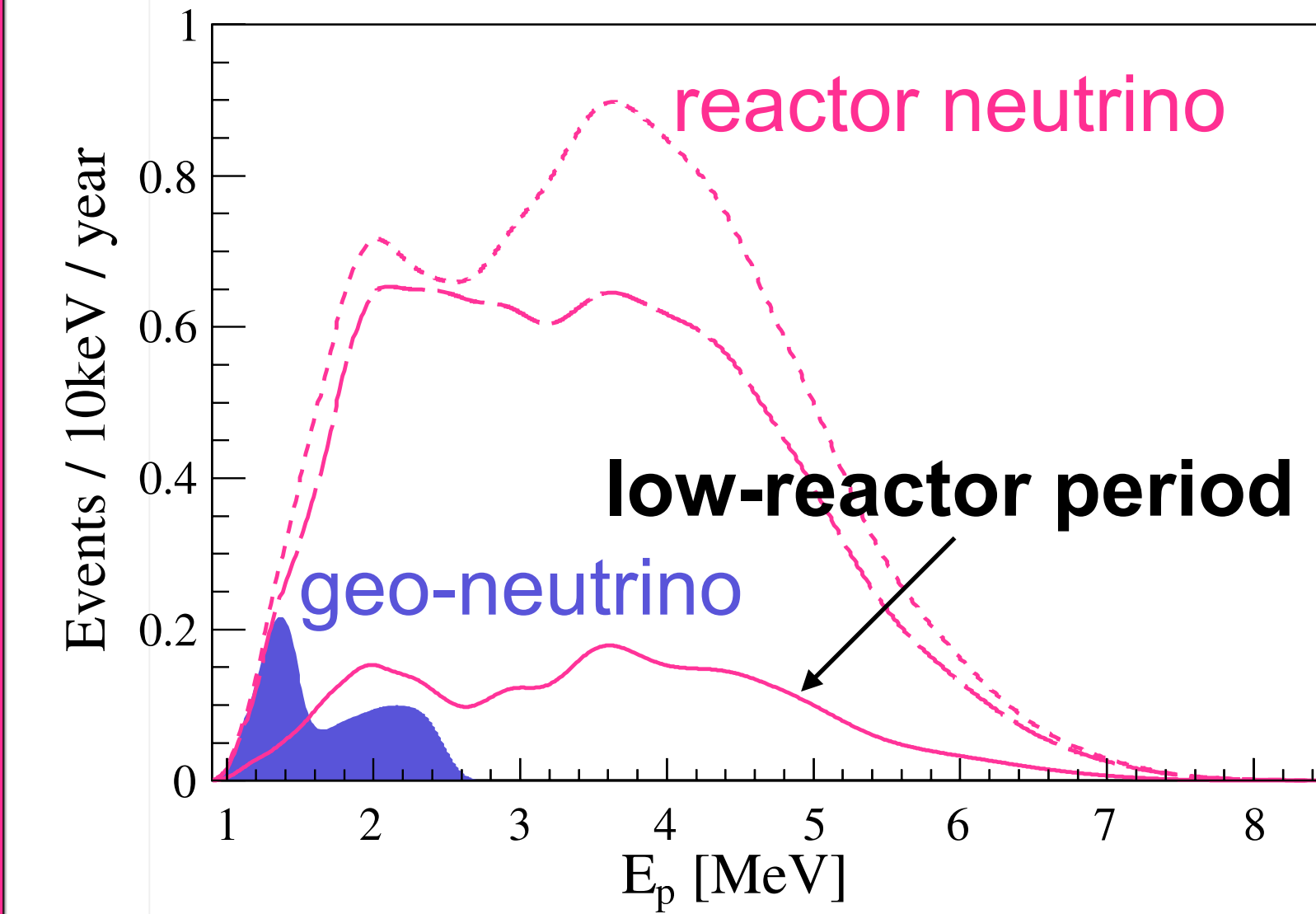
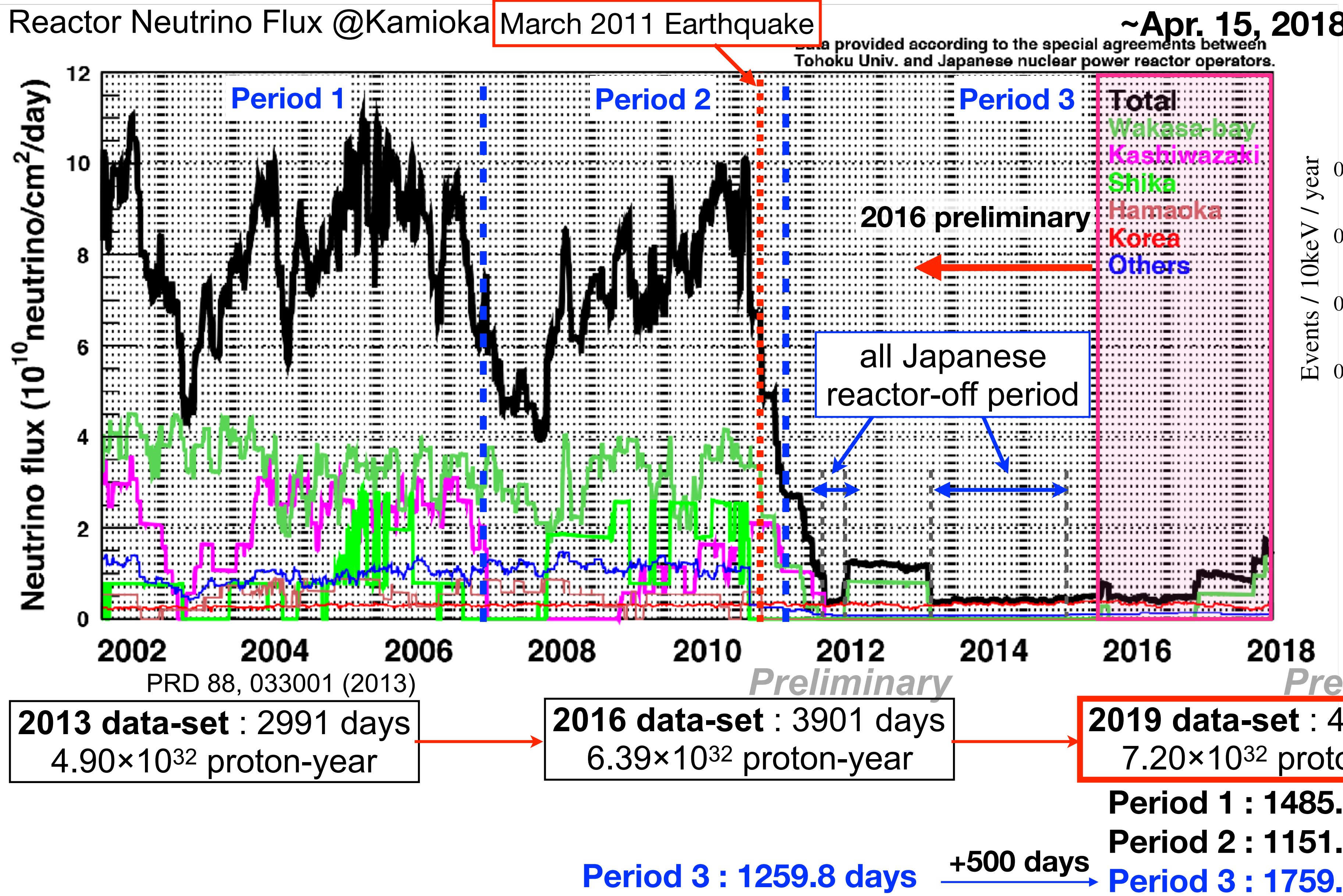
検出器近傍の構造の理解が重要



Contents

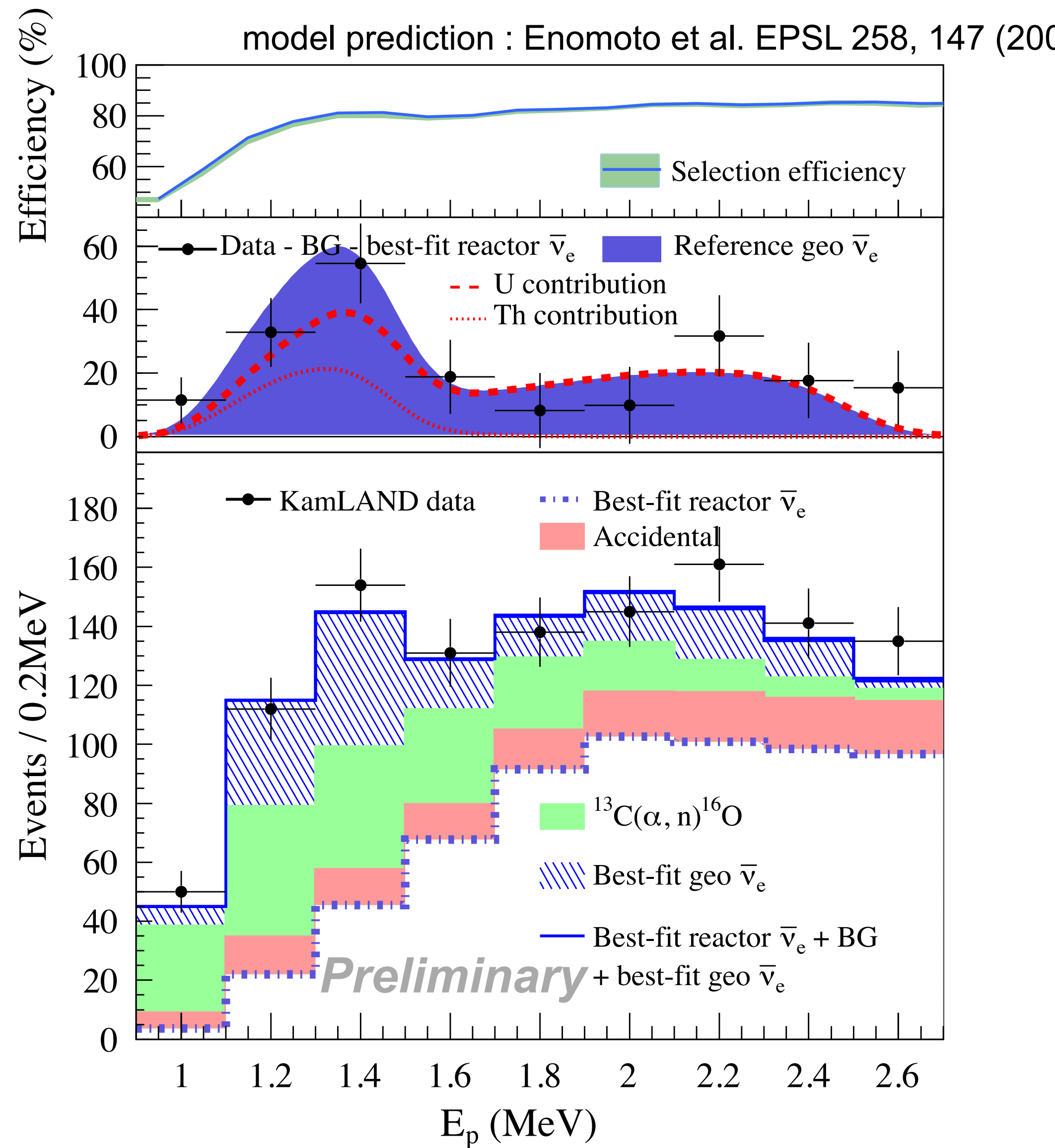
1. Introduction
2. Latest Results
3. Summary

► Data-set & Reactor Neutrinos



► Energy Spectrum (0.9-2.6 MeV)

8/19



2019 Preliminary Result

Livetime : 4397 days

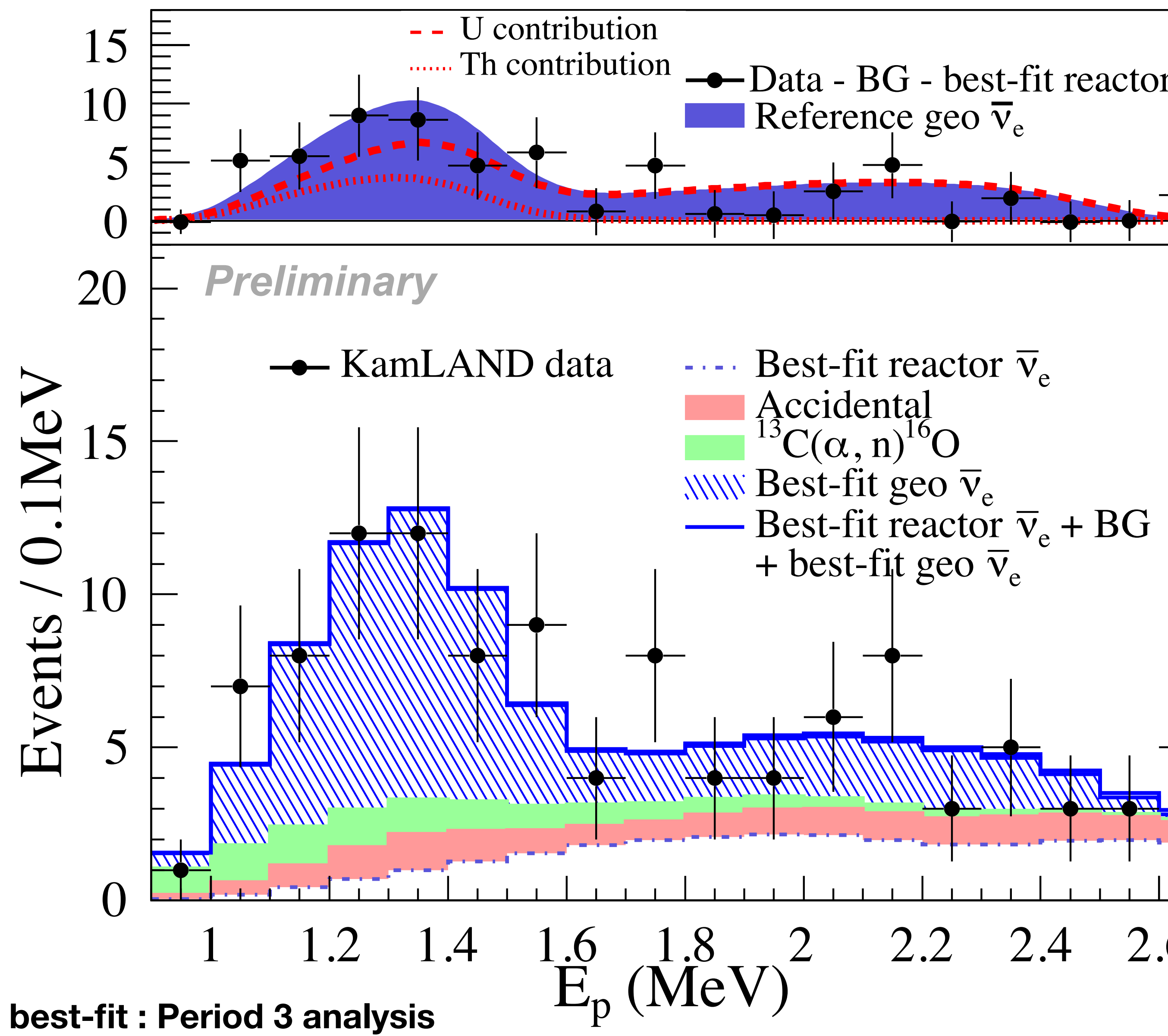
Candidate : 1167 ev

Background Summary

^{9}Li	4.4 ± 0.1
Accidental	121.9 ± 0.1
Fast neutron	< 4.1
$^{13}\text{C}(\alpha, n)^{16}\text{O}$	211.6 ± 23.3
Reactor $\bar{\nu}_e$	629.0 ± 34.4
Total	966.9 ± 41.8

► Energy Spectrum (0.9-2.6 MeV), Low Reactor Phase

9/19



Livetime : 1760 days

Candidate : 110 ev

Geo-neutrino / Background

$$= 66.3 \text{ ev} / 50.3 \text{ ev} \sim 1.3$$

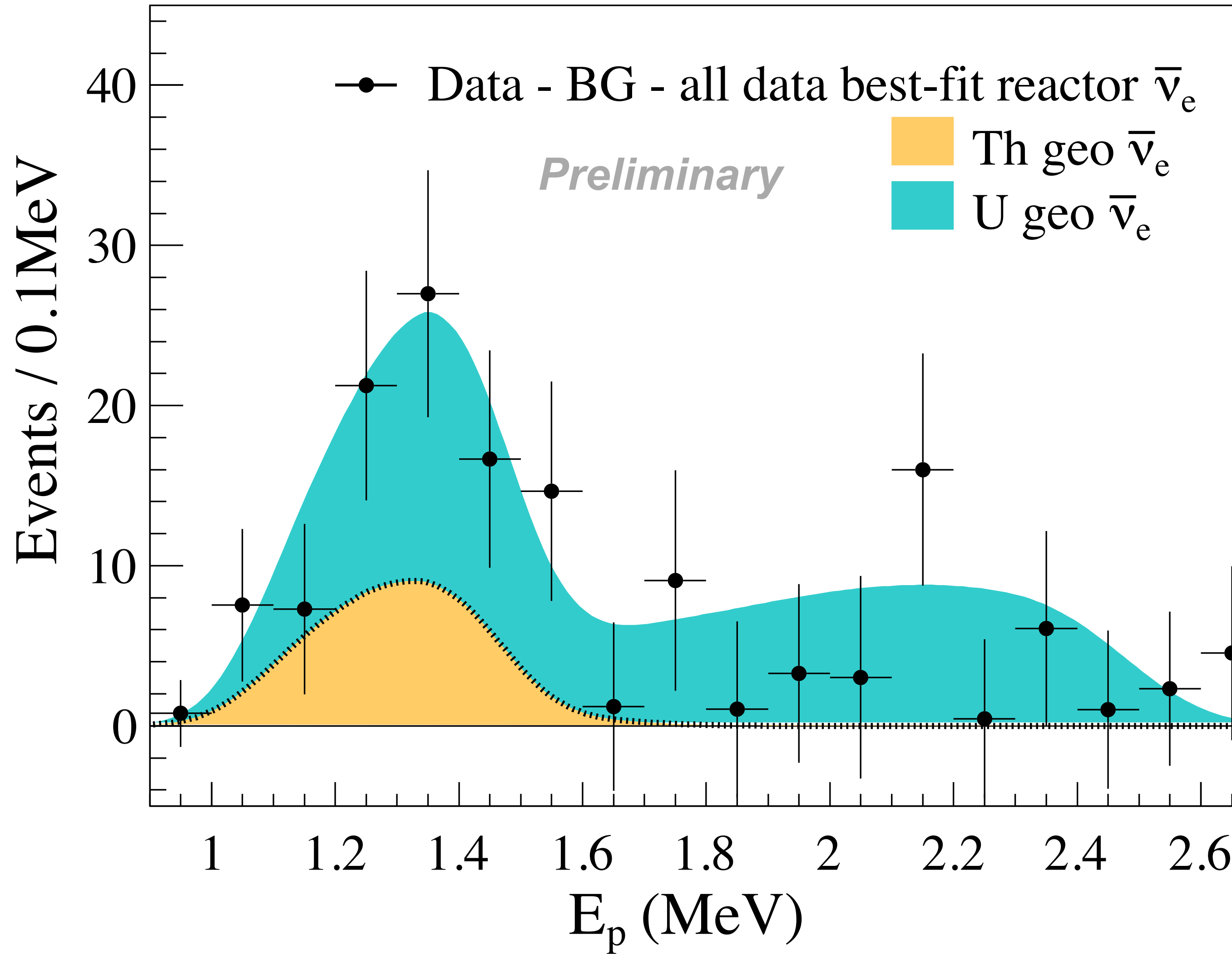
We clearly measured geo-neutrino spectrum.

→ better understanding of U, Th each contribution

► Energy Spectrum, U and Th Geo-neutrino Contributions

10/19

Th/U Fixed (3.9)

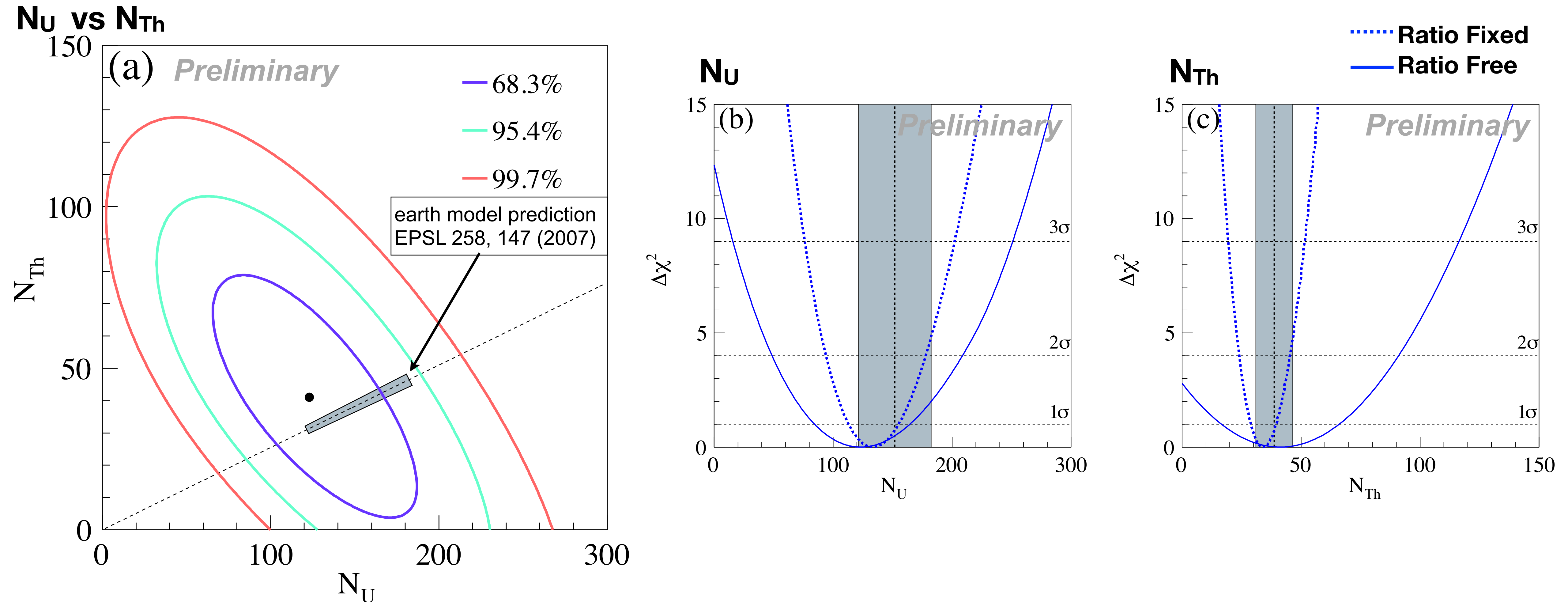


- Background subtracted data
 - backgrounds : all data best-fit
 - weighted average by each period's livetime
- U • Th contributions
 - all data best-fit with Th/U fixed analysis

Good agreement

► Rate + Shape + Time Analysis (1)

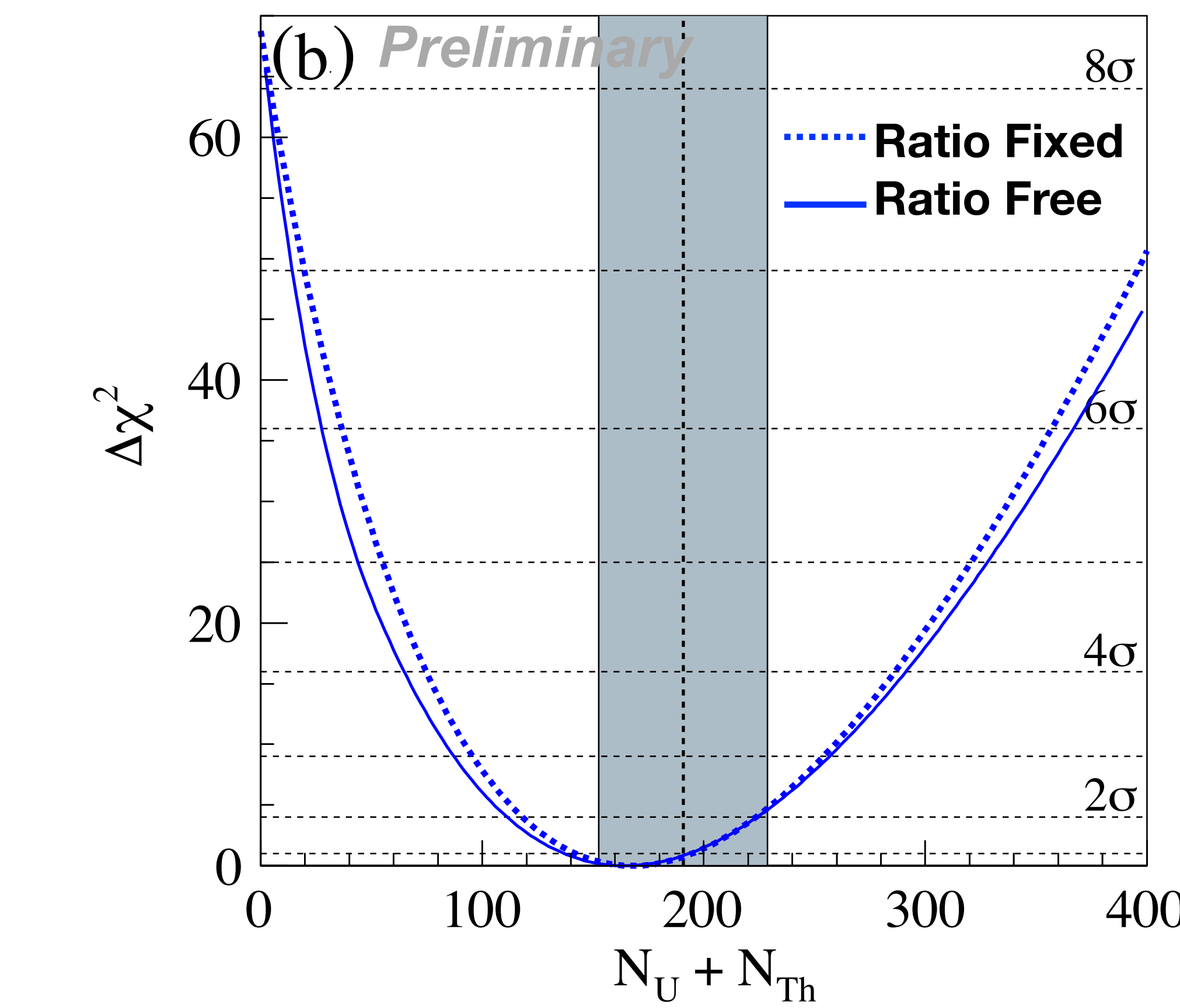
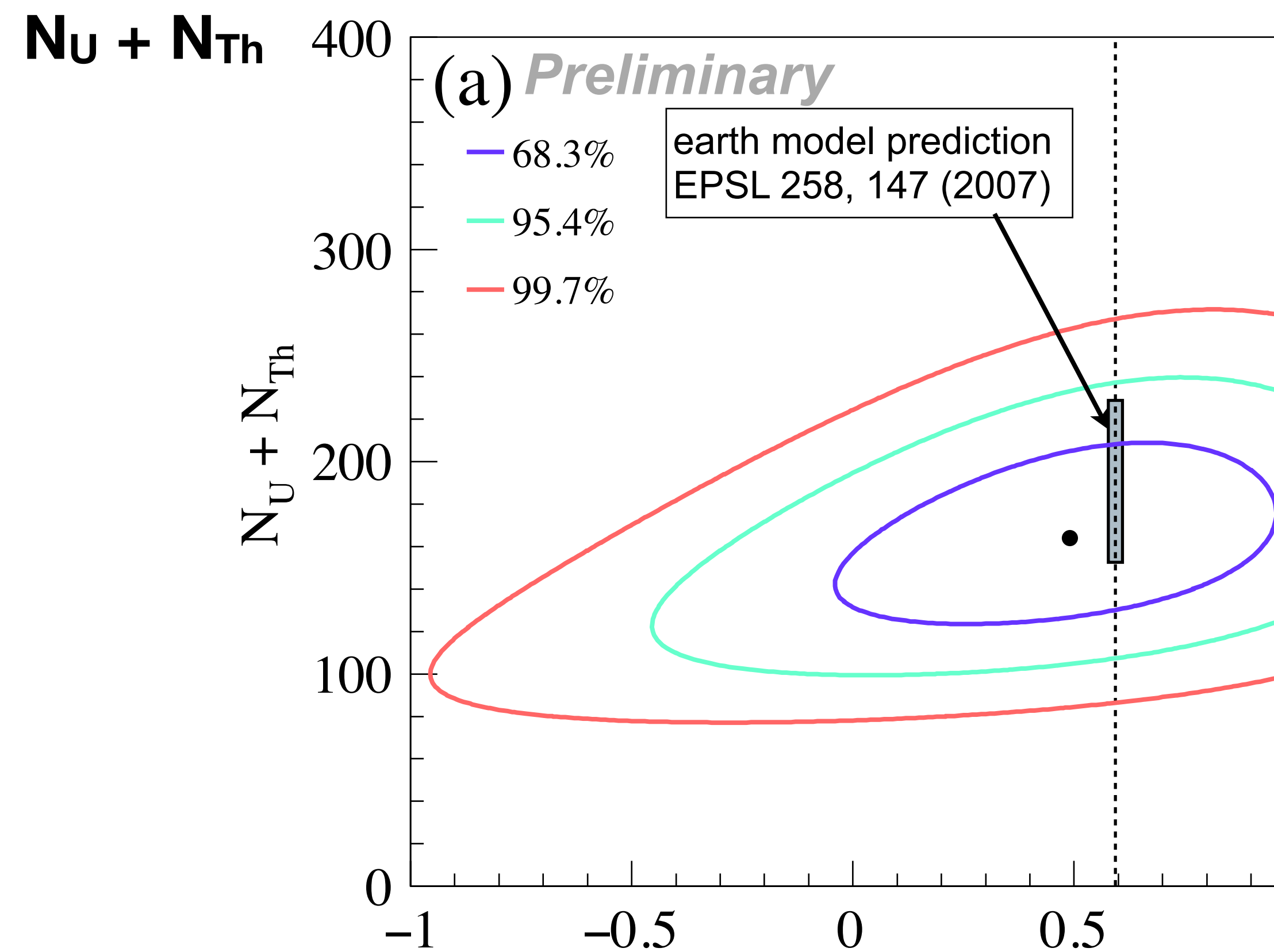
11/19



	[event]	[TNU]	Flux [$\times 10^5 \text{ cm}^{-2}\text{s}^{-1}$]		0 signal rejection	
			best-fit	model		
ratio free	U	$123.3 +41.2/-39.1$	$23.3 +7.8/-7.4$	$17.9 +6.0/-5.7$	22.0	3.51σ
	Th	$41.6 +24.6/-24.7$	$8.1 +4.8/-4.8$	$20.0 +11.9/-11.9$	18.6	1.68σ

► Rate + Shape + Time Analysis (2)

12/19

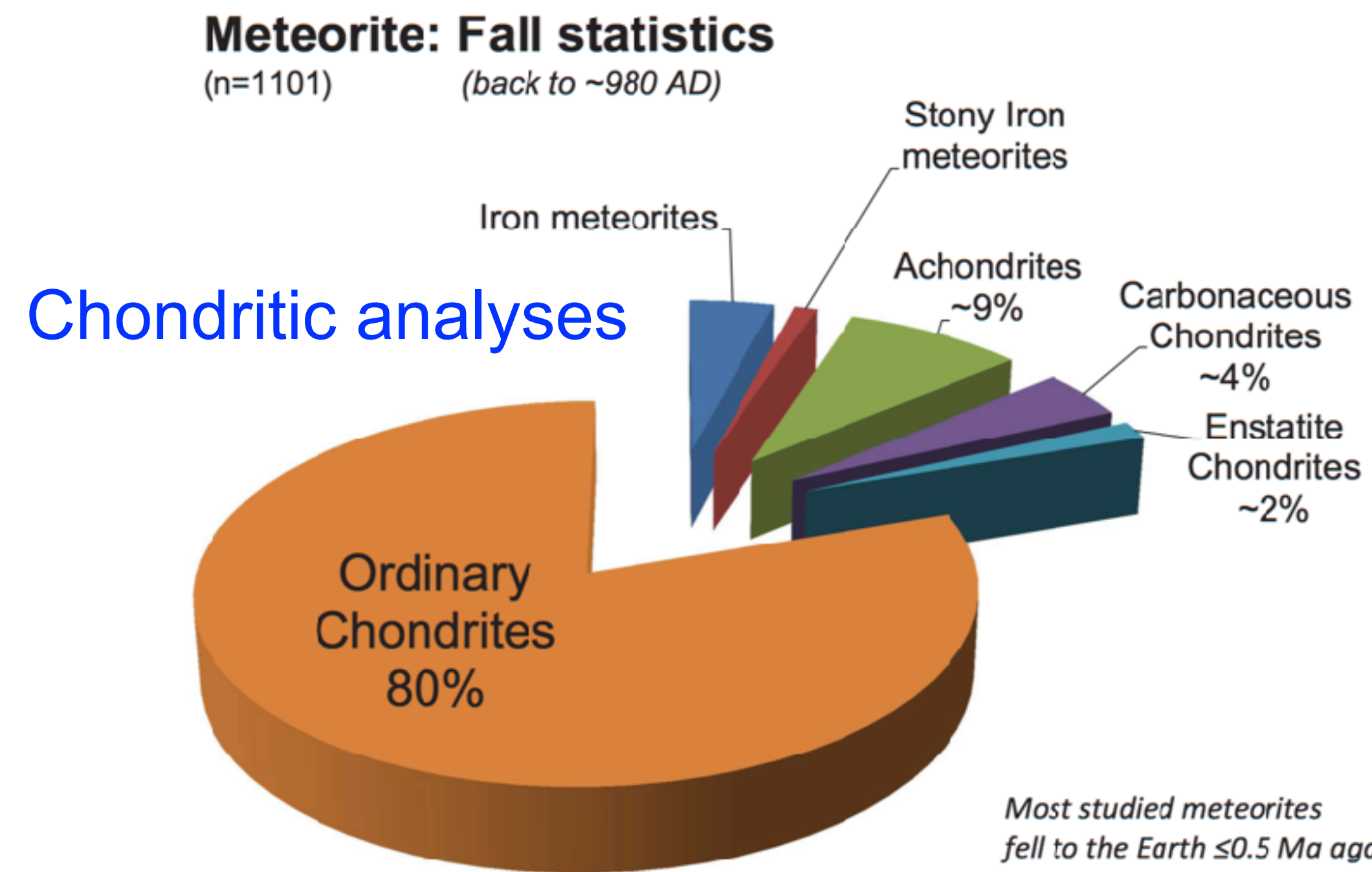


ratio fixed	[event]	[TNU]	Flux [$\times 10^6 \text{ cm}^{-2}\text{s}^{-1}$]		0 signal rejection
			best-fit	model	
U+Th	$168.8 +26.3/-26.5 (15.6\%)$	$32.1 +5.0/-5.0$	$3.6 +0.6/-0.6$	4.1	8.14σ

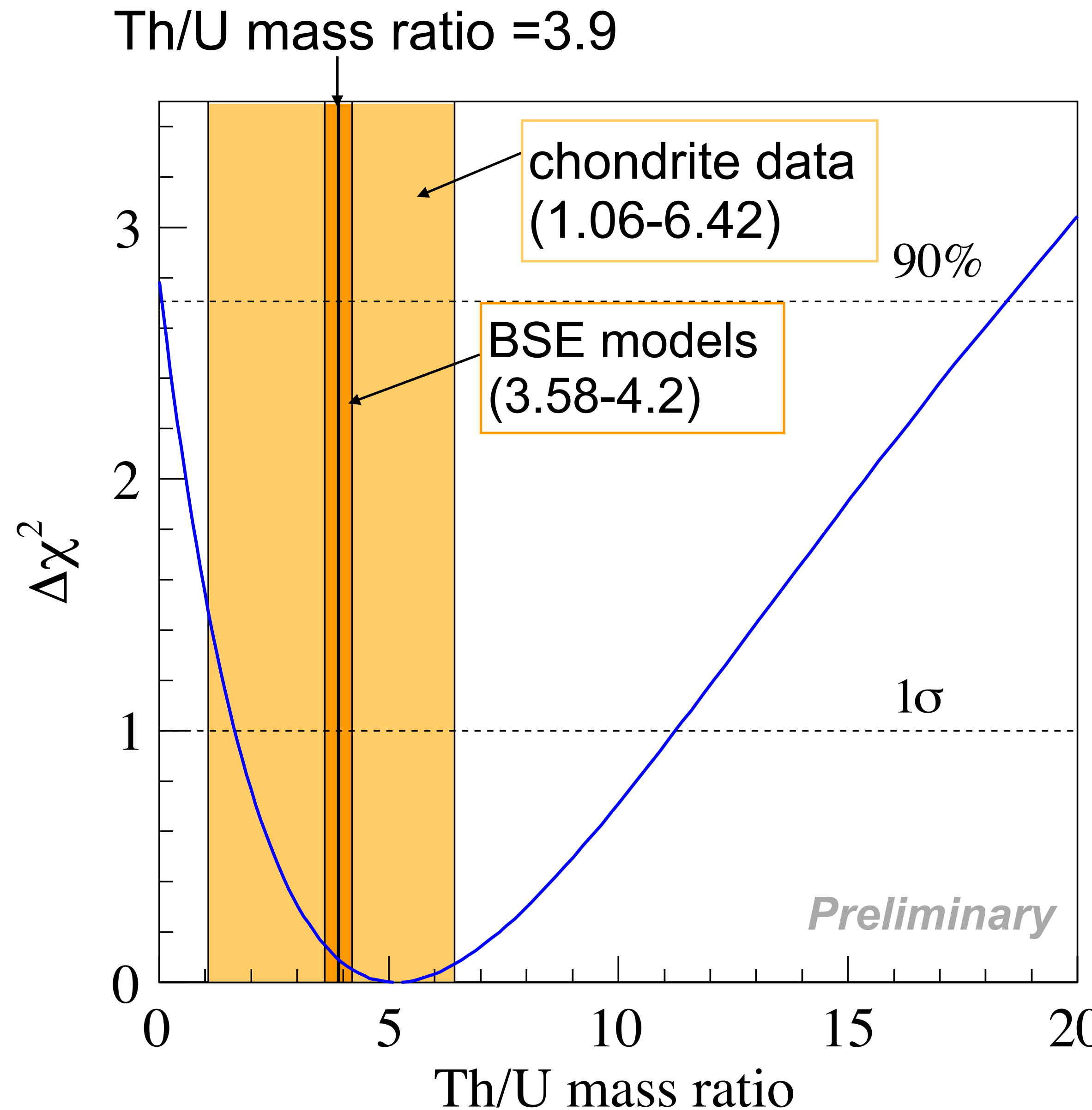
観測結果から得られる地球科学的知見

- * Th/U比
- * 放射化熱量
- * マントルの寄与

- ^{232}Th is more abundant than ^{238}U .
- Molar ratio (Th/U) in **bulk silicate Earth** is expected to be **3.9 ± 0.1** .



地球ニュートリノ : 地球全体のTh/U比の独立した直接測定



Best fit

$$\text{Th/U} = 5.3^{+6.0}_{-3.6}$$

$$\text{Th/U} < 18.5 \text{ (90\% C.L.)}$$

ref) 2016 preliminary

$$\text{Th/U} = 4.1^{+5.5/-3.3}, < 17.0 \text{ (90\% C.L.)}$$

KamLAND best-fit is consistent with chondrite data and BSE models.

ref) chondrite data

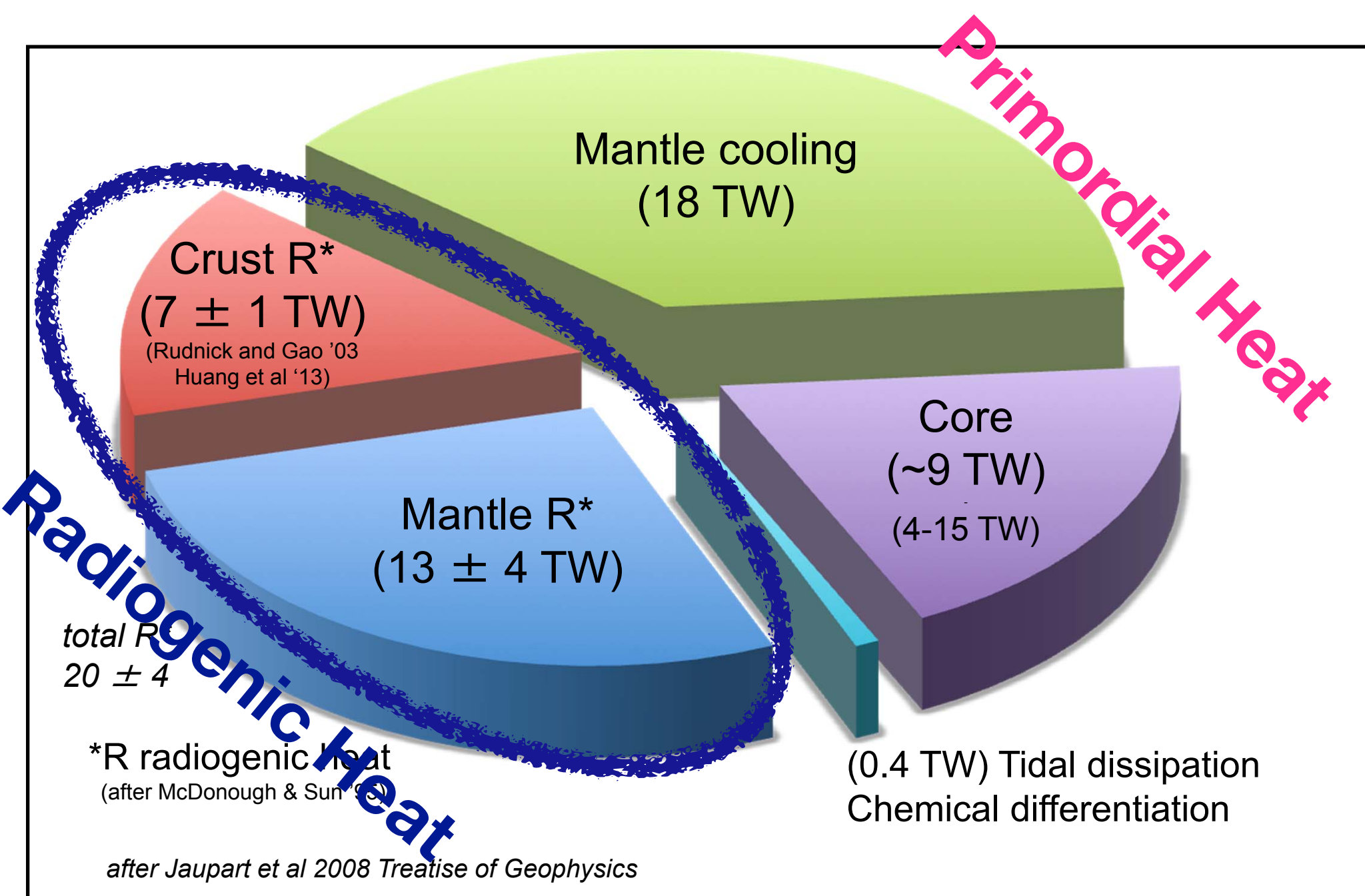
Ordinary Chondrites : J. S. Goreva & D. S. Burnett, Meteoritics & Planetary Science 36, 63-74 (2001)

Carbonaceous Chondrites : A. Rocholl & K. P. Jochum, EPSL 117, 265-278 (1993)

Enstatite Chondrites : M. Javoy & E. Kaminski, EPSL 407, 1-8 (2014)

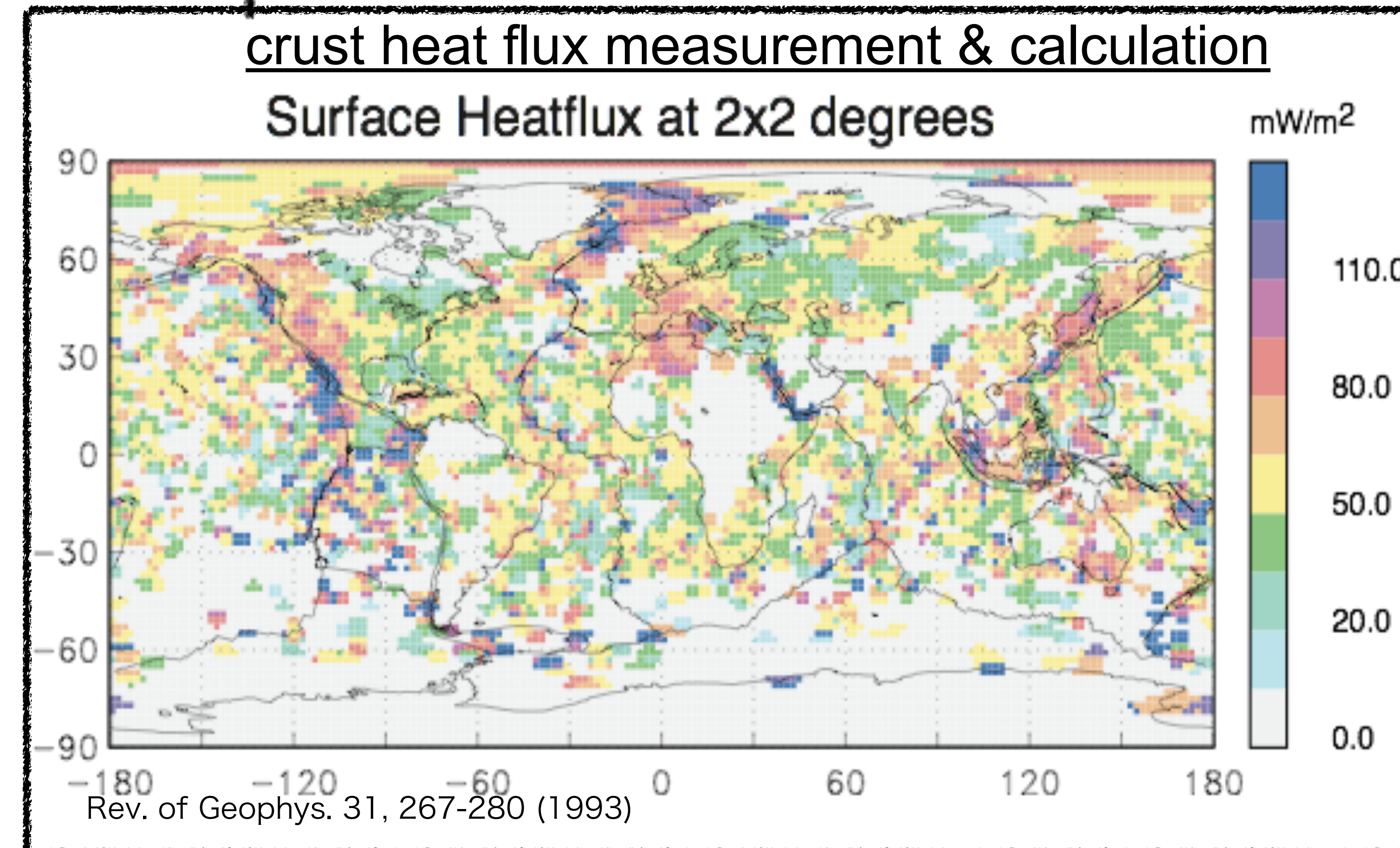
Surface heat flow
 $46 \pm 3 \text{ TW}$

example of Earth model



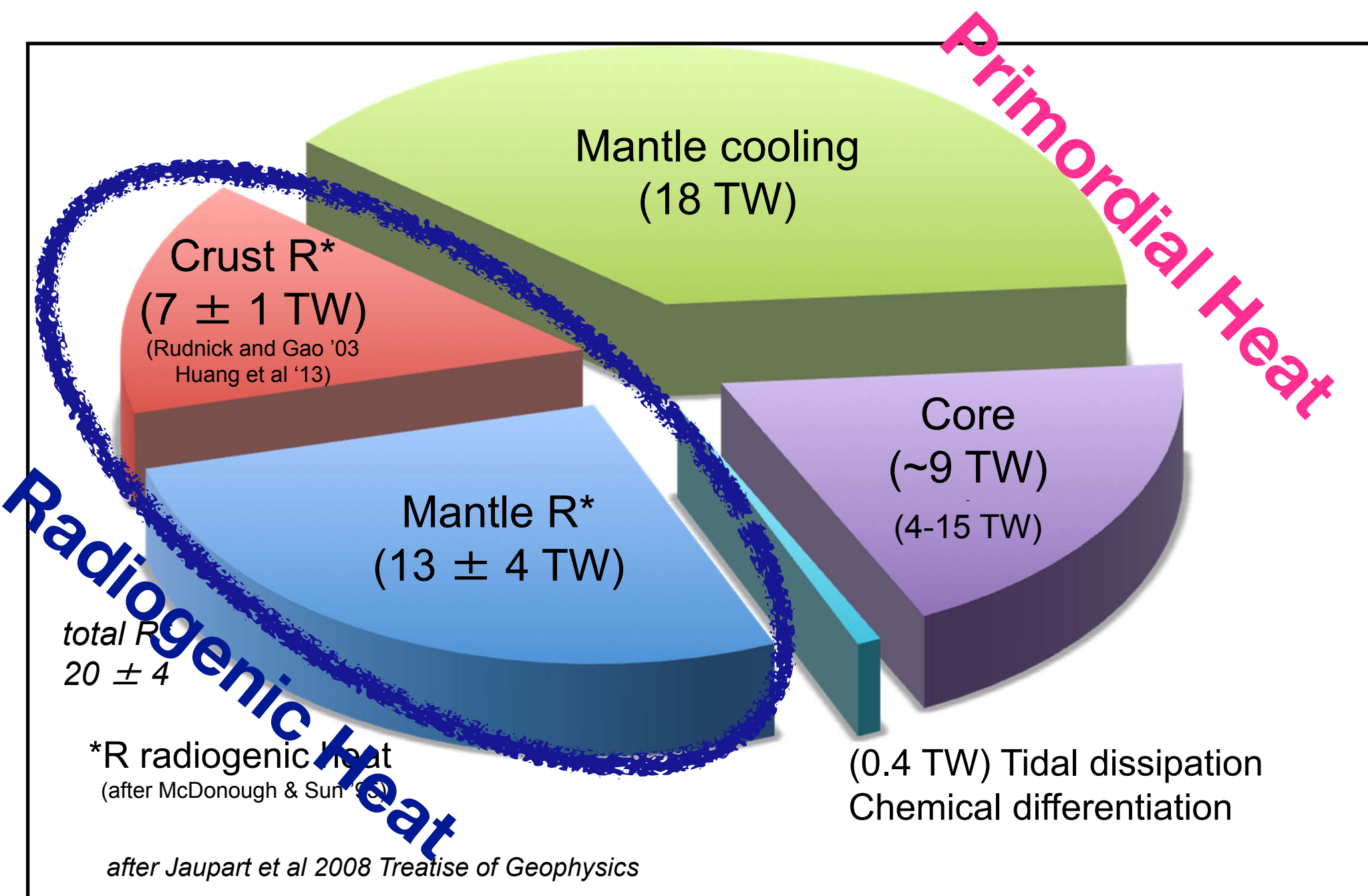
Primordial Heat

- * Releases of gravitational energy through accretion or metallic core separation
- * Latent heat from the growth of inner core

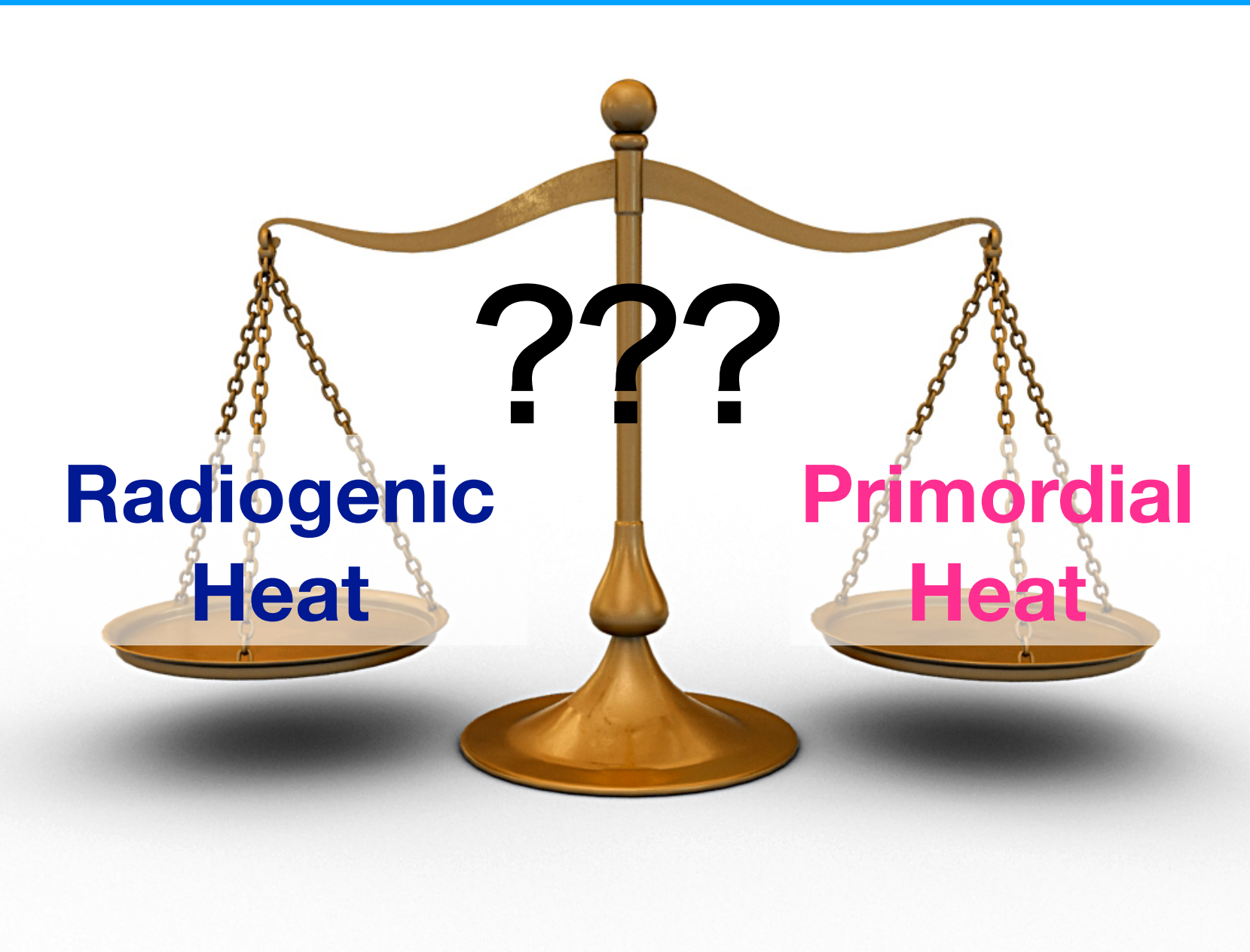


Surface heat flow
 $46 \pm 3 \text{ TW}$

example of Earth model



Q : How much radiogenic heat contributes to Earth's heat?

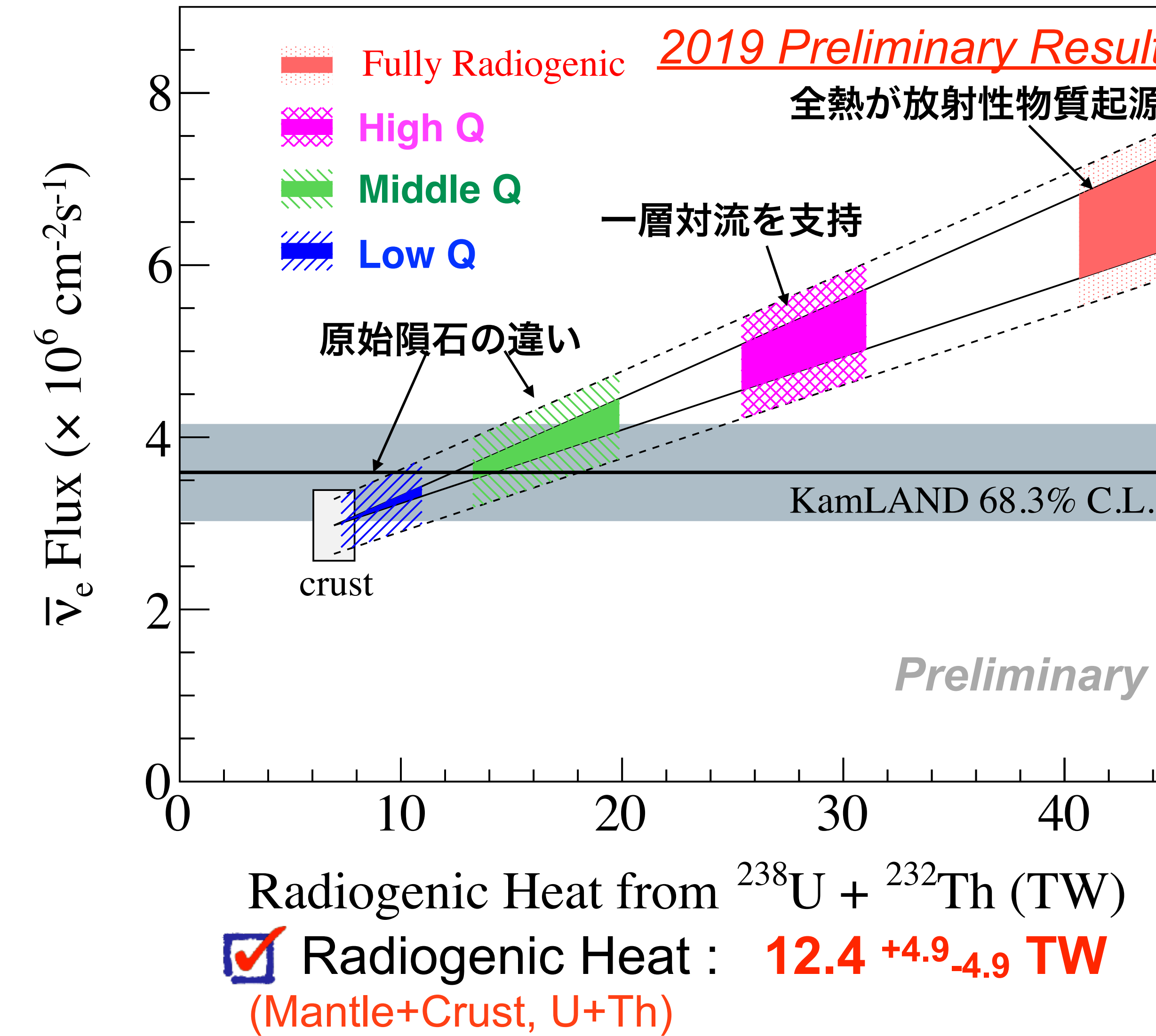


Primordial Heat

- * Releases of gravitational energy through accretion or metallic core separation
- * Latent heat from the growth of inner core

▶ 放射化熱量：観測結果

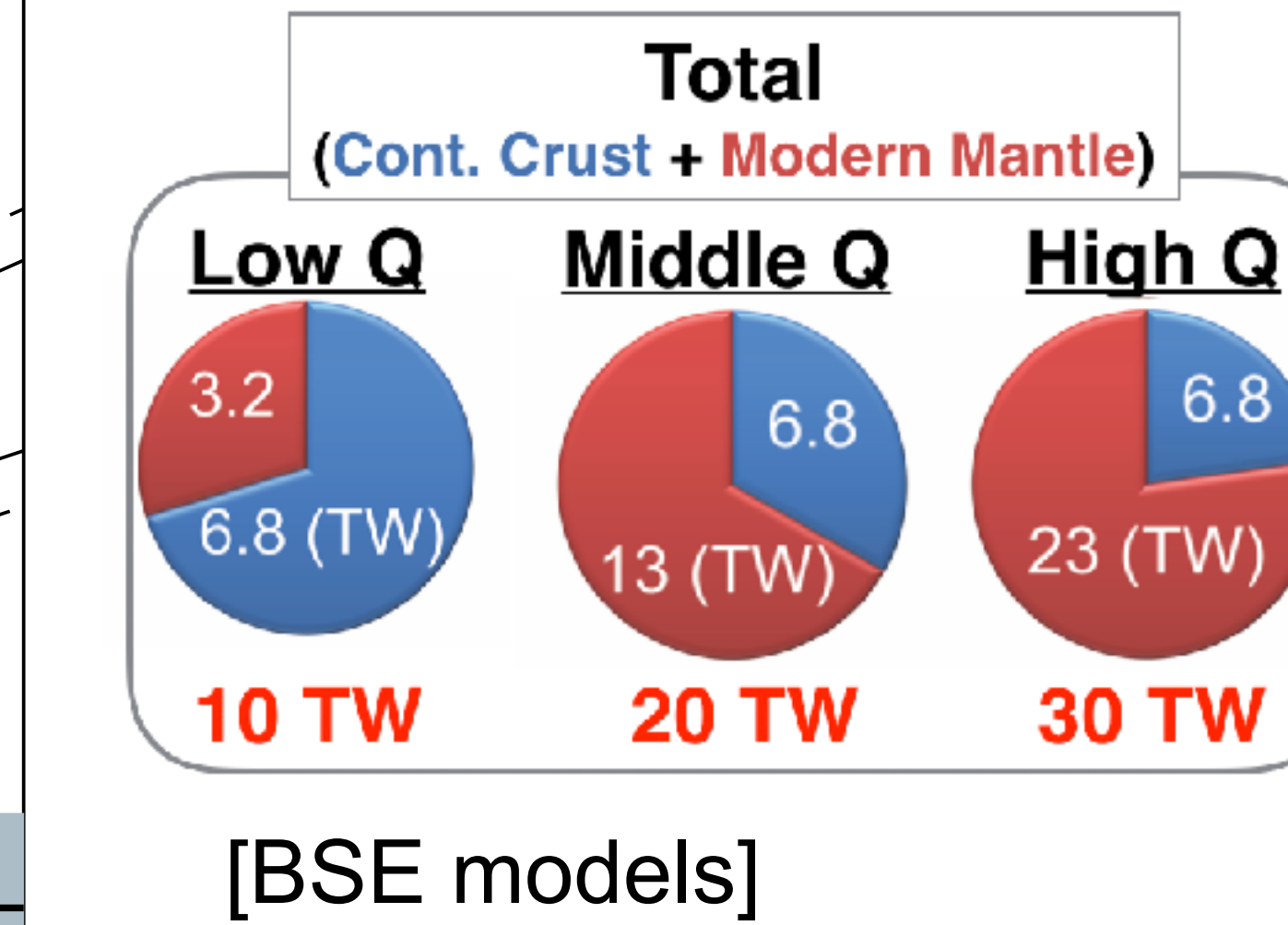
16/19



ref) Crust (U+Th) ~7 TW

Enomoto et al. EPSL
258, 147 (2007)

\rightarrow Mantle (U+Th) ~5.4 TW



High Q
based on balancing mantle viscosity
and heat dissipation

Middle Q
based on mantle samples compared
with chondrites

Low Q
based on isotope constraints and
chondritic models

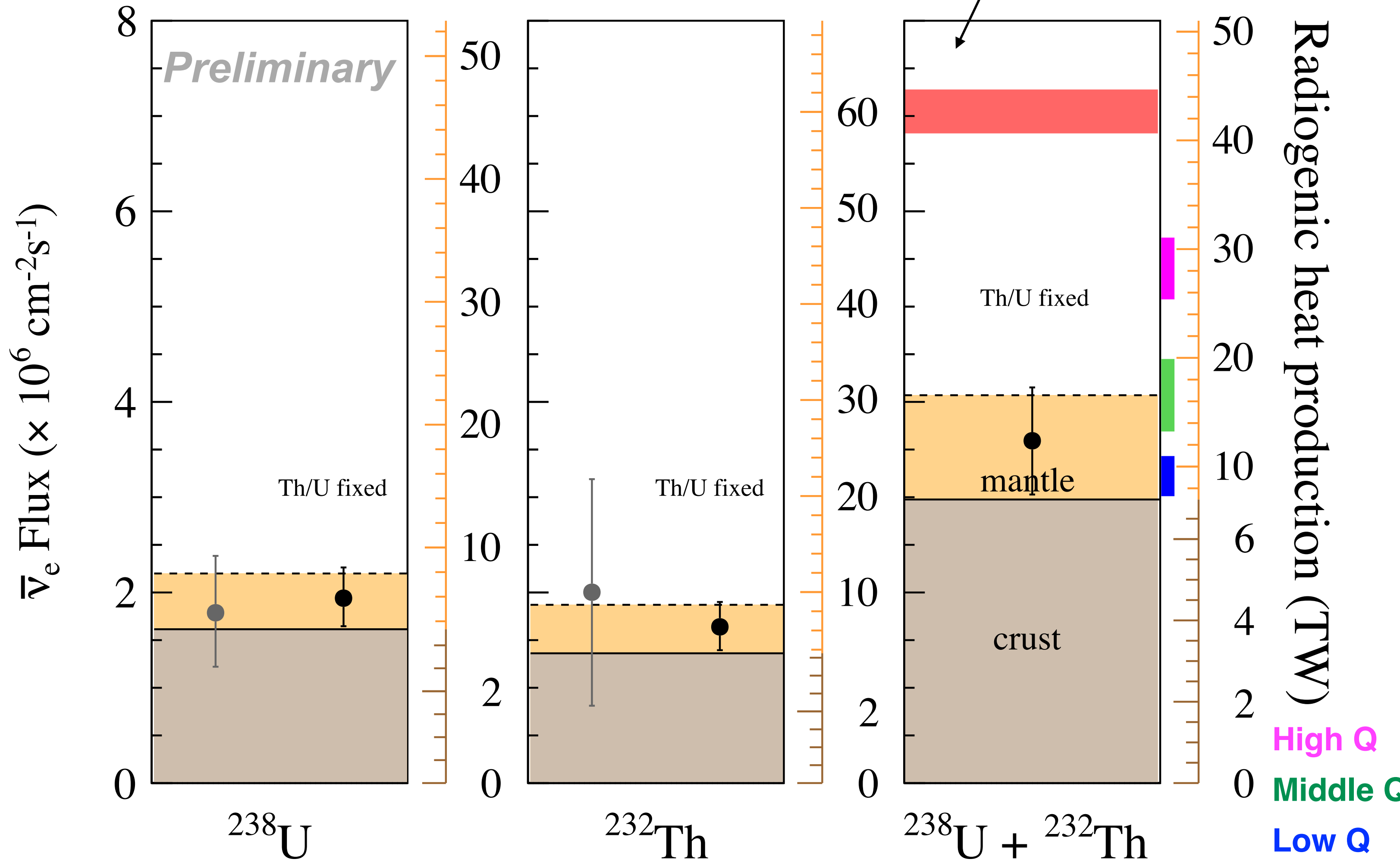
▶観測地球ニュートリノフラックスと予測モデルの比較

17/19

Model mantle (assuming Middle Q)

crust

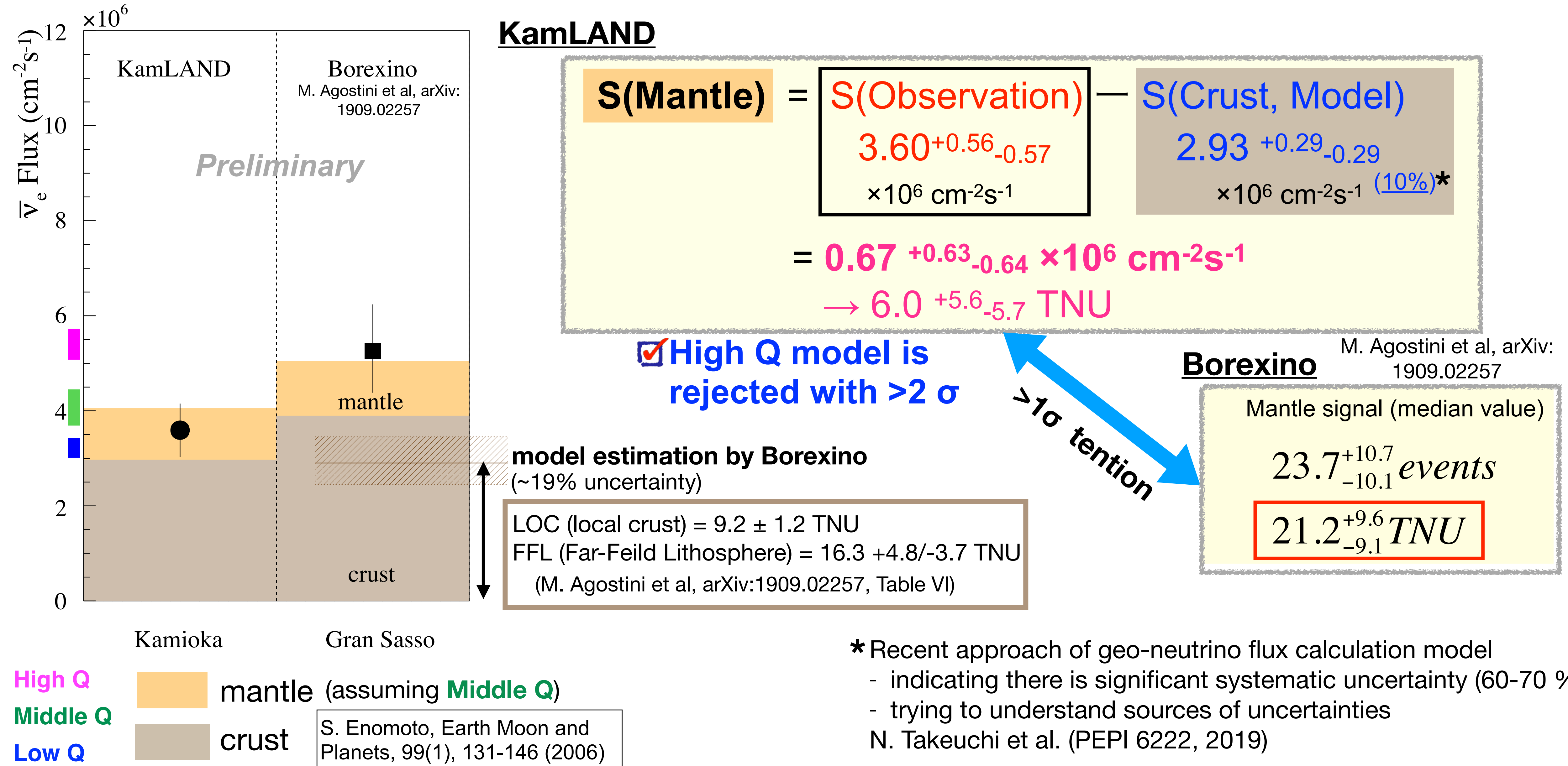
S. Enomoto, Earth Moon and Planets, 99(1), 131-146 (2006)



- ^{238}U と ^{232}Th の寄与を独立に観測
- 観測結果は地殻の寄与の予測量よりも多い
- 熱を放出する元素の現在のそれぞれの寄与を測ることで、地球のこれまでの放射化熱史を明らかにできる

►マントルの寄与 : KamLANDとBorexinoの結果

18/19



▶ 地球ニュートリノ観測は地球内部を直接観測できるユニークなツール

▶ 最新結果 (2019年10月)

- 低原子炉運転期間
 - ~4.8 年 (全lifetimeの40%)
 - 地球ニュートリノの明瞭なエネルギースペクトルの観測 → UとThのそれぞれの寄与をより良く理解
- 地球ニュートリノ事象観測 : 15.6 % の不定性
- 地球科学的知見
 - Th/U比 : $5.3^{+6.0}_{-3.6}$, 隕石分析結果・BSEモデルと無矛盾
 - 放射化熱 : $12.4^{+4.9}_{-4.9}$ TW (マントル+地殻, U+Th), Middle Q・Low Qモデルを好む結果
 - ^{238}U ・ ^{232}Th 地球ニュートリノの独立した寄与の観測 → これまでの放射化熱史を明らかにできる
 - マントルの寄与 : $0.67^{+0.63}_{-0.64} \times 10^6 \text{ cm}^{-2}\text{s}^{-2}$ → * High Qモデルは 2σ 以上で排除
 - * 地殻の寄与の計算モデルへの依存が大きい

▶ 将来展望:

- KamLANDは低原子炉バックグラウンドデータの観測を継続
- 地殻モデルのより良い理解 → マントルの寄与の見積もりをより高信頼度化
- 多地点観測の拡大 (KamLAND, (Borexino), SNO+, JUNO, Jinping)
- Ocean Bottom Detector: マントル直接観測へのブレークスルー (ポスター: 酒井君)